

D R U Š T V O M E T E O R O L O G O V S L O V E N I J E
SLOVENIAN METEOROGICAL SOCIETY

R A Z P R A V E
P A P E R S
V I.

VSEBINA - CONTENTS

- V. Žitnik: Aplikacija Whitingove metode za prognozo neviht na alpsko področje Slovenije
Application of Whiting's method of thunderstorm forecast on alpine region of Slovenia
- A. Hočevar: Značilnosti nekaterih meteoroloških elementov pri generaliziranih lokalnih vremenskih tipih
Characteristics of some meteorological elements at generalised local weather types
- Z. Petkovšek: Oblačnost, vetrovi in megla ob hladnih frontah v Sloveniji
Cloudiness, winds and fog at cold fronts in Slovenia
- F. Bemot: Ladjska opazovanja ob prehodu hladne fronte čez severni Jadran
25. - 27. februarja 1965
Ship's observations during the cold front passing the North Adria in the days 25th - 27th February 1965
- V. Manohin: Nekatere značilnosti zimskih temperatur v Ljubljani v zadnjih 115 letih
Some characteristics of winter temperatures in Ljubljana in last 115 years

APLIKACIJA WHITINGOVE METODE ZA PROGNOZO NEVIHT NA ALPSKO PODROČJE SLOVENIJE

APPLICATION OF WHITING'S METHOD OF THUNDERSTORM FORECAST ON ALPINE REGION OF SLOVENIA

Vlado Žitnik

Summary:

551.509.326

In the present paper application of Whiting's method of thunderstorm forecast (cit. Georg 1960) on Alpine region of Slovenia is treated. It is found, that this method alone doesn't give good results. With adding a new parameter temperature on 500 mb level the improvement is significant.

The values of K are studied, when thunderstorms take place. A rather close connection between the values of K and the temperature on 500 mb level is found (picture 1). On tables 2 and 4 the values of K are given as a function of temperature on 500 mb level separately for frontal and nonfrontal thunderstorms. The values of K, wind direction and speed and temperature on 700 mb and 500 mb level for days with thunderstorms are added also (table 1 and 3).

Metoda Whiting-a (cit. Georg 1960) uporablja, kot je znano za prognozo neviht podatke 850, 700 in 500 milibarske ploskve. Ima več dobrih lastnosti. Z njo napovedujemo nevihte istočasno za večja področja in čas, ki se porabi za prognozo po tej metodi je zelo kratek cca. 20 minut. Seveda velja ta čas za večja področja, kot je na primer Srednja Evropa. Mednarodno letališče Ljubljana leži med radiosondažnima postajama Udine in Zagreb, zato se da v večini primerov določiti z interpolacijo vrednosti meteoroloških podatkov na posameznih milibarskih ploskvah za Slovenijo. Zanima nas, kako se metoda obnese pri nas, to je na južnem robu Alp, ki so pri vsakem vremenskem procesu posebno pomembne in mu dajejo svojo specifičnost.

Metoda se sestoji v tem, da se rišejo izolinije vrednosti K na primer na 700 mb ploskvi. Vrednost K definira enačba:

$$K = (T_{850} - T_{500}) + (T_d \text{ } 850) - (T - T_d) \text{ } 700$$

kjer pomenijo indexi mb ploskev. Kadar število K doseže vrednost 20, že lahko na-

stopajo nevihte. Vsaka večja vrednost tega števila pa poveča gostoto neviht na nekem področju. Iskali bomo samo ta začetni K, ko že nastopajo nevihte in ki ni tako enotno določen, saj bomo videli, da ima vrednost od 20 do 40.

Obdelava zajema le kratko obdobje od 19.aprila do 24.julija 1965. S to kratko obdelavo bomo skušali določiti kritične parametre, ko nastopi nevihta. Določevanje po emagramu namreč ni najboljše in se že precej opušča. V obdobju, ki ga obdelujemo je bilo 35 nevihtnih dni. Razdelili jih bomo v frontalne in nefrontalne. Nefrontalne imenujemo one, ko frontalni sistem nima neposrednega vpliva. Poleg tega bomo skušali poiskati vzroke oziroma tiste sinoptične situacije, ko ni bilo neviht, čeprav je število K preseglo kritično vrednost 20.

Oglejmo si najprej primere frontalnih neviht. V tabeli 1 navedene vrednosti za Ljubljano so interpolirane s pomočjo podatkov od Zagreba in Udin.

Tabela 1

Frontalne nevihte

Število K, smer in hitrost vетra ter temperatura na 700 in 500 mb ploskvi (smer v stopinjah, jakost v vozilih in temperatura v °C).

Table 1

Frontal thunderstorms

Value of K, wind direction and speed, temperature on 700 and 500 mb level (direction in degrees, speed in knots and temperature in °C.)

| Datum | Število K | 700 mb | 500 mb |
|-------|-----------|-----------|-----------|
| 29.4. | 23 | 220/15-11 | 220/20-30 |
| 8.5. | 23 | 340/30- 5 | |
| 10.5. | 24 | 290/25-1 | 290/50-20 |
| 30.5. | 28 | 290/15-5 | 290/20-20 |
| 31.5. | 28 | 190/15-2 | 220/40-20 |
| 5.6. | 31 | 170/25-0 | 160/25-17 |
| 9.6. | 30 | 250/15-5 | 220/30-18 |
| 17.6. | 30 | 250/15 0 | 260/20-10 |
| 28.6. | 38 | 270/15 6 | 280/20-11 |
| 2.7. | 34 | 260/25 4 | 260/30-13 |
| 3.7. | 33 | 260/25 4 | 270/25-14 |
| 4.7. | 30 | 270/15 4 | 280/30-13 |
| 17.7. | 32 | 240/20 1 | 220/20-14 |
| 21.7. | 32 | 260/20 2 | 250/25-14 |
| 22.7. | 30 | 250/15 1 | 250/40-14 |

Kot že rečeno se uporablja metoda za večja področja, kar je zlasti koristno za letalstvo. Pri tem nam pove vrednost K-ja gostoto neviht za to področje. Te zvezne v

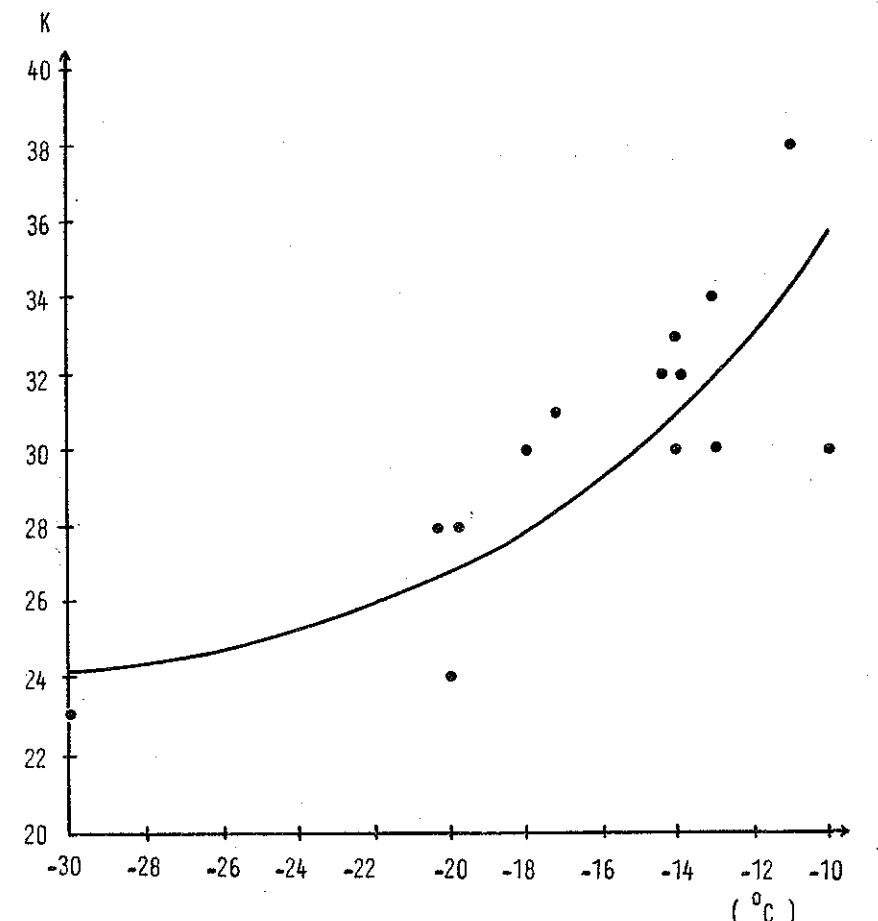
južnem območju Alp ni bilo opaziti, pač pa se je pokazalo, da metoda s pomočjo nekaterih dodatkov odlično služi svojemu namenu. Kot dodatni parameter za določitev začetnega K-ja je najbolj primerena temperatura na 500 mb ploskvi. V ta namen narišemu diagram s parametrom: številom K in temperaturo na 500 mb ploskvi, za vsak nevihtni dan.

Slika 1

Frontalne nevihte. Število K in temperatura na 500 mb ploskvi.

Picture 1

Frontal thunderstorms. Values of K and temperature on 500 mb level.



Ker je točk malo in ker so še te več ali manj grupirane, se je pokazalo, da je še najboljša kar grafična rešitev.

Tabela 2

Število K v odvisnosti od temperature na 500 mb ploskvi.

Table 2

Frontal thunderstorms. Values of K as a function of temperature on 500 mb level.

| Število K | Temperatura na 500 mb |
|-----------|-----------------------|
| 24 | - 30 |
| 25 | - 25 |
| 27 | - 20 |
| 30 | - 15 |
| 36 | - 10 |

Torej se mora pri ustreznji višji temperaturi povečati tudi število K, sicer do nevihtnih pojavov ne pride.

Depresija rosišča ($T - T_d$) na 700 mb ploskvi precej niha, in sicer v odvisnosti od oddaljenosti frontalnega sistema. Če je ta razlika še okrog 5° , smo še dalječ od frontalne zone. Navadno pa je ta razlika med 2 in 0. Pri hitrih in močnih procesih dobimo še dodatne vrednosti, ki so v odvisnosti od frontalnega premika. Veter je pretežno jugozahodnik in v splošnem ne preseže 20 do 25 vozlov na 700 mb ploskvi.

Sedaj si oglejmo primere nefrontalnih neviht.

Tabela 3

Nefrontalne nevihte

Število K, smer in hitrost vetra ter temperatura na 700 in 500 mb ploskvi (smer v stopinjah, jakost v vozilih in temperatura $v^{\circ}C$).

Table 3

Nonfrontal thunderstorms

Value of K, wind direction and speed, temperature on 700 and 500 mb level (direction in degrees, speed in knots and temperature in $^{\circ}C$).

| Datum | Število K | 700 mb | 500 mb |
|-------|-----------|-----------|-----------|
| 23.4. | 22 | 300/15-8 | 320/15-28 |
| 24.4. | 23 | 300/10-19 | 280/15-28 |
| 25.4. | 24 | var/10-10 | var/10-28 |
| 23.5. | 28 | 050/10- 3 | 110/30-21 |
| 16.6. | 28 | 330/15- 1 | 340/35-15 |
| 21.6. | 30 | 300/20 5 | 300/30-12 |
| 27.6. | 30 | 310/10 6 | 250/20-11 |
| 19.7. | 29 | 270/10 2 | 270/25-12 |
| 6.8. | 30 | var/10 2 | 220/15-14 |

Iz diagrama teh podatkov dobimo naslednjo tabelo:

Tabela 4

Nefrontalne nevihte

Število K v odvisnosti od temperature na 500 mb ploskvi.

Table 4

Nonfrontal thunderstorms

Value of K as a function of temperature on 500 mb level

| Število K | Temperatura na 500 mb |
|-----------|-----------------------|
| 22 | - 30 |
| 24 | - 25 |
| 26 | - 20 |
| 28 | - 15 |
| 30 | - 10 |

Za lažjo odločitev pri prognoziranju neviht je zelo važen člen $T - T_d$ na 700 mb ploskvi. Če je ta reda $1 \sim 3^{\circ}$, kaže na visoko vлагo v ozračju in je prognoza zanesljivejša.

Zanimajo nas tudi primeri, ko bi po predhodnih dveh skupinah, to je frontalnih in nefrontalnih slučajih morale nastopiti nevihte, pa le-te izostanejo. Opaziti je bilo dve izraziti značilnosti sinoptičnih situacij. Prva je severozahodna cirkulacija s hitrostjo vetra 30 ali več vozlov na 700 mb ploskvi. Ta povzroča fenski efekt, ki je lepo viden na 700 mb ploskvi, saj znaša depresija rosišča 4 do $7^{\circ}C$. Druga tako značilna situacija je karakterizirana z močnim jugozahodnikom, ko je zabeležena hitrost vetra 50 ali več vozlov na 700 mb ploskvi.

Literatura:

Georg J.: Weather Forecasting for Aeronautics.
Academic Press. New York and London 1960.

ZNAČILNOSTI NEKATERIH METEOROLOŠKIH ELEMENTOV PRI GENERALIZIRANIH LOKALNIH VREMENSKIH TIPIH

CHARACTERISTICS OF SOME METEOROLOGICAL ELEMENTS AT GENERALISED LOCAL WEATHER TYPES

Andrej Hočvar

Summary:

551.506.2

In the present paper, duration of different weather types, sunshine, relative humidity, and temperature characteristics, that are not explicitly given in the used weather classification (Čadež 1949), are studied in relation to the weather types. In definite weather types there exist common traits of the studied meteorological element, that are in some weather types more and in same less expressed. The reasons, we do not get a still better picture, can be found after author's opinion in the generalization of the weather types and in the short period examined.

Same characteristics of duration of various weather types are given in table 1. From the last column we can see, that the following assumption can be accepted: relation - frequency of the whole day lasting weather types to frequency of all weather types multiplied by the reduction coefficient - is constant. In the year 1958 during a day generalized N weather types last longer than the S ones.

A rough outline of the sunshine conditions in various weather types groups are shown on the picture 1. The brightest sunshine is found at the type of group A and at the type of group AC the sunshine is not sharply defined.

The relative humidity at 14^h is also studied as the value, that is very close to the minimum. The frequency distribution of generalized weather types in the classes of relative humidity values for including months March till July are given in table 2.

A good way to study temperature conditions as related to the weather types

is to find the change of the mean daily temperature, that is brought by the weather type in comparison to the weather type on the day before. For constructing such a table we do not have enough data. So we must do a rough simplification and study only the temperature changes that are brought by the weather type without relation to the weather type of the day before. Such a table with only three classes is added (table 3).

U V O D

V poslednjih letih med klimatološkimi obdelavami vse bolj stopa v ospredje silmultana obdelava večih meteoroloških elementov. Obdelave posameznih meteoroloških elementov ne glede na druge, namreč ne povedo dovolj. Ta pomanjkljivost klasične klimatologije se pokaže posebno pri raziskavah vpliva vremena na živo pa tudi na neživo prirodo.

Kompleksno gledanje številnih meteoroloških elementov istočasno pa zahteva dolčeno organsko klasifikacijo, saj izgubimo brez nje vsak pregled. Tipi vremena, ki so fizikalno mogoči in statistično pogojeni, nastopajo kot nov samostojen element, ki je preprostejši in vsebuje implicitno ali eksplicitno važne meteorološke elemente, ki so bili vodilo pri klasifikaciji.

Potek meteoroloških elementov, ki so eksplicitno podani v klasifikaciji nam je znano. Za elemente, ki so implicitno vsebovani v klasifikaciji pa so nam znane samo kvalitativne poteze. Zato je treba kvantitativne poteze le - teh šele raziskati. Tako je načel važen problem povezovanje lokalnih meteoroloških pogojev z makrotipi vremena F.Fliri (1960). Proučeval je temperaturne razmere v Innsbrucku in Mitelburgu in dobil lepe rezultate. Podobne študije sta delala Š.Petrovič in J.Šoltis (1964) ter D. Foltánová (1964) in M.Nosek (1964).

V našem delu bomo obravnavali karakteristike nekaterih meteoroloških elementov pri posameznih lokalnih tipih vremena M.Čadeža (1949). Tipizacija vremena je bila izdelana po prečiščenem tekstu klasifikacije, ki ga je objavila Hidrometeorološka služba FNR Jugoslavije (1956). Kratke oznake lokalnih vremenskih tipov in generaliziranih lokalnih vremenskih tipov pa je podal A.Hočevar (1964, 1965). Ogledali si bomo značilnosti cel dan trajajočih in prehodnih vremenskih tipov - po klasifikaciji se lahko zvrste na dan največ trije tipi vremena. Poleg teh značilnosti bomo raziskovali še vrednosti meteoroloških elementov: relativne vlage in osončenja pri posameznih generaliziranih lokalnih vremenskih tipih ter interdiurne spremembe temperature,

ki jih prinašajo posamezni generalizirani vremenski tipi.

Za raziskavo smo izbrali te elemente in karakteristike zato ker so pomembni posebno za živi svet. V nadaljnjem delu bomo namreč proučevali biometeorološke probleme s pomočjo novega meteorološkega elementa - tipov vremena -, ki jih moramo zato z vseh strani pobliže spoznati.

CEL DAN TRAJAOČI IN PREHODNI VREMENSKI TIPI

Kot prvo se nam vsiljuje vprašanje v kakšnem razmerju so si posamezni vremenski tipi pri statistiki izdelani za vse dneve leta (tudi prehodni tipi) in v kakšnem pri statistiki izdelani samo za cel dan trajajoče tipe. Primerjavo teh podatkov nam prikazuje tabela 1. Upoštevani so vsi generalizirani vremenski tipi. V koloni so podane pogostnosti posameznih vremenskih tipov v dnevih za Mursko Soboto v letu 1958. V tretji koloni so te vrednosti množene z 0,64 kolikor znaša razmerje med pogostnostjo cen dan trajajočih tipov in pogostnostjo vseh tipov. V četrtri koloni so pogostnosti cel dan trajajočih vremenskih tipov in v zadnji koloni je količnik razmerja med pogostnostjo cel dan trajajočih vremenskih tipov in reducirano pogostnostjo vseh tipov.

Tabela 1

Pogostnost vremenskih tipov po Čadežu za Mursko Soboto v letu 1958 in pogostnost samo za cel dan trajajoče vremenske tipe.

Table 1

The frequency of all generalised weather types and the frequency for only whole day lasting ones for Murska Sobota in the Year 1958.

| 1 Vremenski tip | 2 Pogostnost | 3 Pogostnost 0,64 | 4 Pogostnost cel dan trajajočih VT | 5 Kvocient 3 4 |
|--------------------|-----------------|-------------------------|--|-------------------------|
| K | 2 | 1 | 2 | 2,0 |
| SK | 6 | 4 | 6 | 1,5 |
| NK | 4 | 3 | 4 | 1,3 |
| Å | 102 | 66 | 71 | 1,1 |
| AS | 26 | 17 | 16 | 0,9 |
| AN | 7 | 4 | 5 | 1,2 |
| AC | 47 | 30 | 31 | 1,0 |
| S | 61 | 39 | 24 | 0,6 |
| N | 62 | 40 | 47 | 1,2 |
| C | 22 | 14 | 15 | 1,1 |
| SC | 8 | 5 | 3 | 0,6 |
| NC | 14 | 9 | 10 | 1,1 |

Tabela 1 (nadaljevanje)

| 1 Vremenski tip | 2 Pogostnost | 3 Pogostnost 0,64 | 4 Pogostnost cen dan trajajočih VT | 5 Kvocient 4 5 |
|--------------------|-----------------|-------------------------|--|-------------------------|
| CK | 3 | 2 | 1 | 0,5 |
| SCK | 0 | 0 | 0 | 0 |
| NCK | 1 | 1 | 0 | 0 |
| Σ | 365 | 235 | 235 | |

Pregled zadnje kolone nam pove, da je ta količnik pri večini pogostnejših tipov blizu 1. Pri nekaterih generaliziranih tipih pa lahko ugotovimo še naslednje zakonitosti. V K grupi vremenskih tipov so vsi tipi izrazito celodnevni. V naslednjih treh grupah je količnik pri osnovnem tipu (brez advektivne komponente) ena ali nekaj nad ena. Pri tipih z južno advektivno komponento je količnik povsod pod ena pri generaliziranem S tipu paže celo na 0,6 in je pri tipih s severno komponento ponovno nad ena.

Iz teh rezultatov lahko sklepamo, da s predpostavko o enakem razmerju vseh vremenskih tipov med seboj na osnovi študija samo cel dan trajajočih vremenskih tipov ne delamo prevelike napake. Spoznali smo, kateri tipi so bolj prehodnega značaja in kateri so stalnejši. Očitno so v tem letu v povprečju prehodni južni in stalnejši severni tipi. Ta rezultat se nanaša seveda le na stalnost ali nestalnost tipa v enem dnevu.

Nadaljnje važno vprašanje pri spoznavanju lastnosti posameznih vremenskih tipov so raziskave posameznih elementov, ki niso neposredno vključeni v klasifikacijo. S tem problemom se je bavilo več avtorjev (Š.Petrovič 1964, M.Nosek 1964 in drugi), ki pa so raziskovali potek meteoroloških elementov kot sta padavine in temperatura v odvisnosti od makrometeoroloških vremenskih tipov. Naš problem je očji, spoznati moramo karakteristike elementov v posameznih lokalnih vremenskih tipih. Omejili se bomo na študij osončenja, relativne vlage ob 14 uri in interdiurnih sprememb temperature pri posameznih vremenskih tipih.

OSONČENJE

Eden važnih elementov vremena zlasti še za vegetacijo je osončenje in svetloba (L.T.Evans 1963 in drugi). Poglejmo zato kakšne so značilnosti posameznih generaliziranih vremenskih tipov.

Koliko osončenja pripada temu ali onemu vremenskemu tipu, lahko natančno določimo samo pri cel dan trajajočem tipu. Ker bo le za tako dolgo trajajoč tip količina osončenja tudi karakteristična, se omejimo samo na cel dan trajajoče tipe. Privzemimo

mo še omejitev, da obravnavamo samo mesece vključno od marca do julija v katerih raste vegetacija. Ta omejitev nam bo dala nekoliko točnejše podatke zaradi letnega hoda možnega osončenja. Obdelali bomo ta element za Mursko Soboto in sicer za obdobje petih let (1955 - 1959).

Oglejmo si najprej kumulativne diagrame za prvo grujo tipov - K, SK, NK.

Tako opazimo razliko med osnovnim K tipom in K tipoma z advektivno komponento, ki pa sta si zelo podobna. K tipi imajo večje število ur sončnega obsevanja v primerjavi z DK tipi. Tako ima 67 % oziroma 2/3 K tipov nad sedem ur osončenja, medtem ko je pri DK tipih ravno obratno. Pri teh tipih ima le tretjina dni (33 %) več kot sedem ur osončenja dnevno. Od vseh treh generaliziranih K tipov ima najmanj osončenja NK tip. To dejstvo si lahko razlagamo s precej močnejšim razvojem konvektivnih oblakov pri advekciji s severa, ki največkrat prinaša hladen zrak.

Tipi druge grupe - A, AS, AN, - imajo glede osončenja mnogo skupnega. Glavna poteza je, da ima 90 % dni nad osem ur in poštevati moramo, da je A tipov z advektivno komponento malo in so raziskave podrobnosti brez prave osnove. Tak je primer, ko imajo 4 % dnevov AS tipov 5 ur osončenja, kar je zgrajeno na enem samem podatku (vseh primerov komaj 25), ki seveda ni reprezentativno. Moramo pa tudi te podatke spremeniti v procente, da jih lahko primerjamo z A tipi, katerih kumulativni diagram je sestavljen iz 123 podatkov.

Zvezo med številom ur sončnega obsevanja in številom vremenskih tipov grupe A nam potrjuje tudi naslednji diagram. V desetdnevniem obdobju pred cvetenjem rane češnje (*Prunus avium*), poštejmo pogostnosti vremenskih tipov grupe A in izračunajmo srednje osončenje za to obdobje. Točke v diagramu "Srednje osončenje desetdnevnega obdobja pred cvetenjem rane češnje v odvisnosti od pogostnosti vremenskih tipov grupe A (1955-1959)" (za Maribor manjka podatek za leto 1955) nakazuje jasno linearno zvezo (slika 1).

Tretja grujo tipov - AC, S, N, - kaže izglaljeno sliko. Kumulativni diagrami so položni, torej so pogostnosti enakomerno porazdeljene. Najmanj osončenja dobi AC tip - cca. 68 % dnevov manj kot 4 ure in precej več S tip, ki v 57 % dobi več kot 4 ure. Osončenje pri N tipu je zelo podobno osončenju pri AC tipu.

Osončenje pri tipih četrte grupe je razumljivo omejeno na majhne vrednosti. Ker je število primerov majhno ($C+DC = 58$ dni) in neenakomerno porazdeljeno ($C = 27$ dni, $SC = 6$ dni, $NC = 25$ dni) se omejimo le na zaključek, da ima nad 85 % dni manj kot dve uri osončenja, dočim je ta procent pri NC tipih še mnogo večji. Pri 95 % dni je osončenja manj kot eno uro. Pete grujo tipov - CK, SCK, NCK, - ne moremo obravnavati zaradi zelo majhnega števila primerov.

Za hiter pregled osončenja pri različnih grupah vremenskih tipov, obravnavane so le prve štiri, nam služi slika 2. Ta prikazuje shematsko porazdelitev relativnih pogostnosti grup vremenskih tipov v odvisnosti od števila ur sončnega ob-

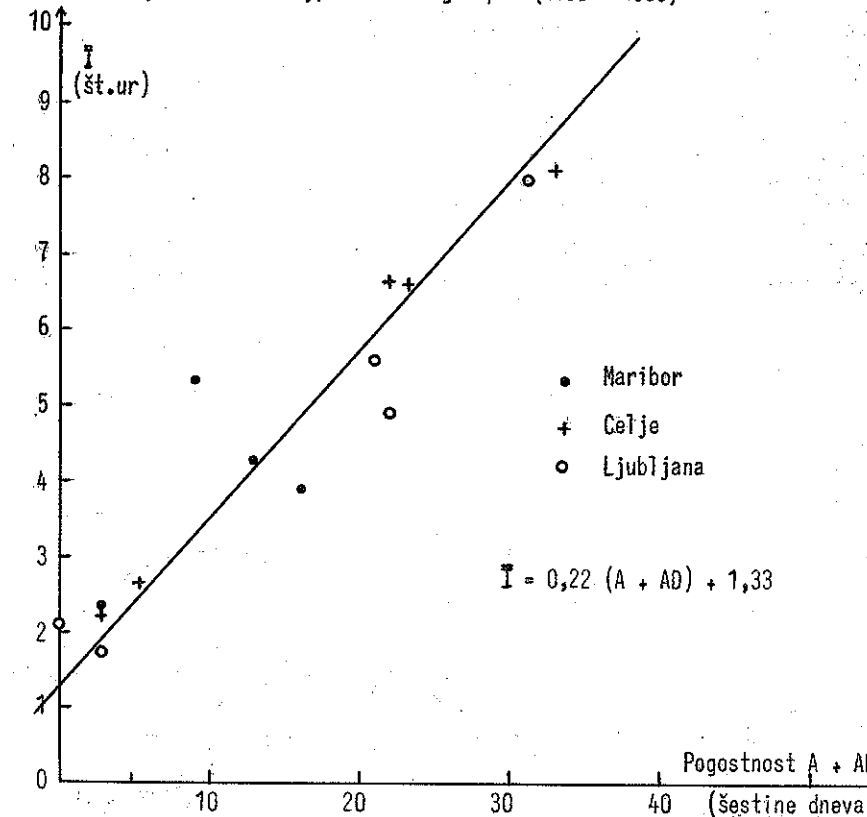
sevanja pri posameznih grupah vremenskih tipov in njihove ostale karakteristike kot so mojne vrednosti in podobno. Tako ima četrta grujo C, SC, NC, - do 5,0 ur sončnega obsevanja, vendar ima skoro 90 % tipov te grupe osončenje 0,0 do 0,5 ur. Tretja grujo - AC, S, N, - ima zelo širok in enakomeren spekter. Tako imajo tipi te grupe lahko osončenje od 0 do 12 ue z največjo pogostnostjo me 0,0 in 0,5 ur. Ta največja pogostnost znaša komaj cca 27 %. 15 % tipov ima 1 do 2 uri sončnega obsevanja, 10 % tipov ima 3,4 in celo 5 ur sončnega obsevanja in 8 % tipov ima 6 do 7 ur sončnega obsevanja. Lepši potek kaže prva grujo - K, SK, NK, - ki ima tudi široko območje 2 do 13,5 ur, ima pa pri sedmih urah izrazit maksimum. Ožje območje zavzemajo ponovno tipi druge grupe - A, AS, AN, - ki imajo osončenje 7 do 14 ur. Maksimum je pri tej gruji pomaknjen na 11 do 12 ur.

Slika 1

Srednje osončenje desetdnevnega obdobja pred cvetenjem rane češnje v odvisnosti od pogostnosti vremenskih tipov grupe A (1955-1959)

Picture 1

Mean sunshine of ten days period before cherry - trees start to blossom as a function of frequency of weather types of the group A (1955 - 1959)

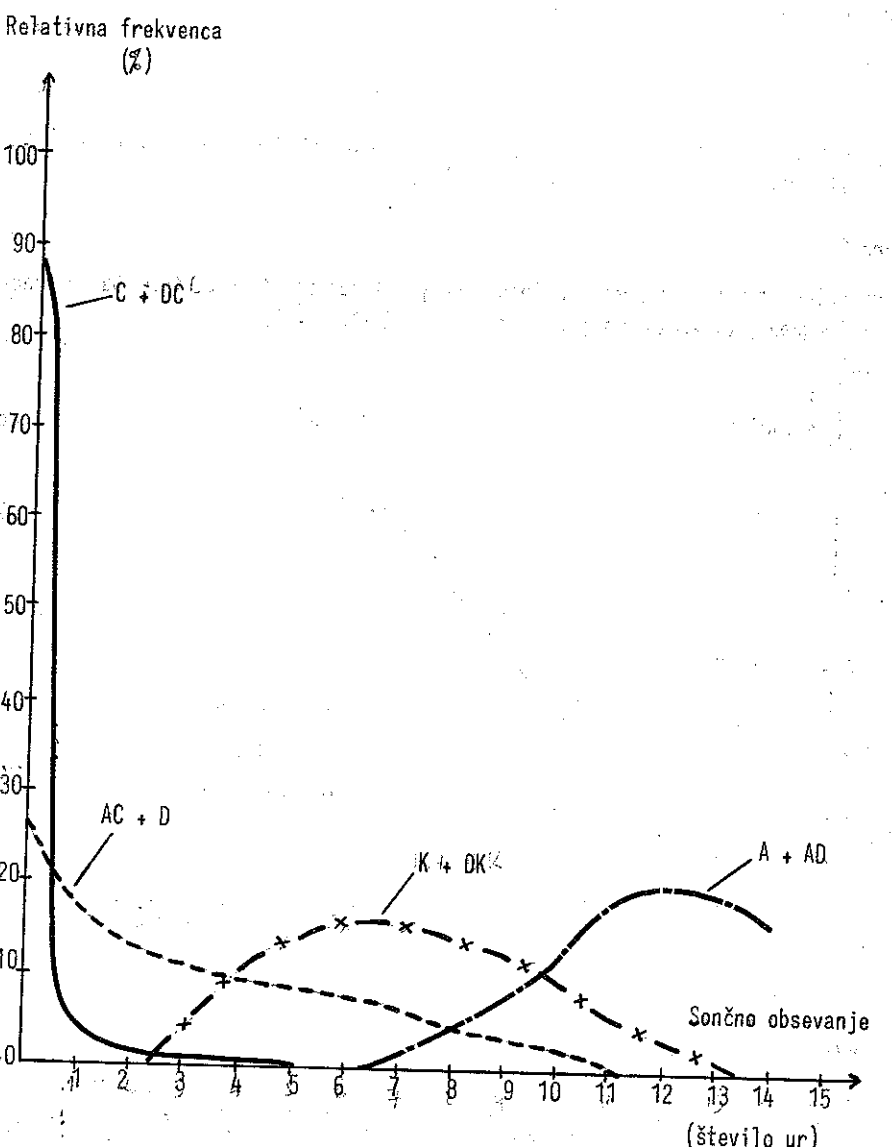


Slika 2

Relativna frekvenca posameznih grup tipov kot funkcija številā sončnih ur. (Upoštevani le cel dan trajajoči tipi) Murska Sobota III - VII (1955-1959)

Picture 2

Relative frequency of different type groups as function of the sunshine hours. (only the whole day lasting weather types). Murska Sobota III - VII. (1955-1959).



RELATIVNA VLAGA

Element, ki si ga bomo ogledali v tem poglavju bo relativna vlag ob 14 uri, ki nam bo v neki meri predstavljala minimalno relativno vlag. Kot pri obdelavi sončenja bomo tudi tu vzeli v poštev samo cel dan trajajoče tipi, kjer je dnevnih hod relativne vlage do neke mere razvit. Pri dnevih z več tipi v dnevu nam bo ta podatek, ki je v splošnem zelo nekonzervativen, povedal še precej manj. Obravnavan so meseci marec do vključno julij za Mursko Soboto (1955-1959).

Oglejmo si najprej kakšne vrednosti relativne vlage najbolj pogosto nastopajo v posameznih mesecih pri različnih vremenskih tipih. Omejimo se le na bolj pogoste tipi.

V mesecu marcu so zastopani pogosteje le A tipi in tipu tretje grupe. Njih značilnosti so naslednje. Pri A tipu je najpogostejša relativna vlag v intervalu 51 - 60 %, nastopal pa je tudi en dan z relativno vlag med 21 - 30 %. Spekter relativne vlage pri AC tipu je precej širši (med 31 in 100 %) z maksimum med 60 in 80 %. Ožji spekter z neizrazitim maksimumom med 71 in 80 % ima S tip. Ponovno širši spekter z izrazitejšim maksimumom imajo bolj zastopani N tipi v intervalu 61 do 70 %. Severni advektivni tipi imajo od vseh tipov te grupe maksimum v intervalu z najnižjo relativno vlagom.

V aprilu se razmere nekoliko spremene. Najbolj pogostim tipom v marcu se prijedruži še C tip. A tip postane bolj suh. Maksimum nastopa v intervalu 31 - 40 %. Precej manj pogost kot v marcu je AC tip, ki pa je prav takoj bolj pogost v intervalih z nižjo relativno vlagom (maksimum v intervalu 51 - 60 %). Tudi pri advektivnih tipih se maksimi pomaknejo k nižjim vrednostim. Maksimum je pri S tipih v intervalu med 41 in 50 % ter pri severnih tipih v intervalu med 51 in 60 %. Ciklonski tipi se razumljivo ponašajo z visoko relativno vlagom. Največ slučajev ima relativno vlag 81 - 90 %.

Za večino vremenskih tipov v maju težko kaj povemo o najbolj frekventni relativni vlagi ker so premalo pogostni. Osnovne črte dobimo le za tipe A in N pri katerih je razporeditev naslednja. Pri A tipu je širina spektra od 31 do 60 % z jasnim maksimumom iz širše tabele v intervalu med 36 - 40 %. N tip zavzema območje 31 do 80 % z maksimumom med 51 in 60 %.

V juniju se poveča pogostnost K grupe tipov, čeprav absolutno ni zelo velika. Pri čistih K tipih je relativna vlag največkrat v intervalih 51 - 60 %, pri SK tipih naraste za 10 % in se pri NK tipih spet vrne v interval 51 - 60 %. A tipi ostanejo tudi v tem mesecu v mejah 31 - 60 % z maksimumom po širši tabeli med 36 in 40 %. Pogostni tipi v tem mesecu so še vedno N tipi, pri katerih se območje v primerjavi s prejšnjim mesecem pomakne proti intervalu z višjo relativno vlagom (41 - 90 %) z maksimumom še vedno v intervalu med 51 in 60 %.

V juliju se še nadalje veča pogostnost grupe K tipov, ki pa v pogledu relativ-

ne vlage zadrže nekatere karakteristike. Tako ima največ K tipov relativno vlogo med 51 in 60 %, pri SK tipih se ta vrednost poveča za 10 % in je pri NK tipih spet v intervalu 51 do 60 %. A tip je ponovno zelo pogost ter zavzema ozko območje med 31 in 60 % z izrazitim maksimum med 41 in 50 %. O N tipu lahko povemo, da zavzema isti spekter z istim maksimumom kot v juniju. Vsi ostali vremenski tipi so pre malo pogosti, da bi nam lahko dali kakšno informacijo.

Grobo vendar razmeroma pregledno informacijo o relativni vlagi pri večini obravnavanih tipov dobimo, če združimo podatke za vseh pet obravnavanih mesecev (tabela 2).

Tabela 2

Pogostnost cel dan trajajočih vremenskih tipov v posameznih intervalih. Kriterij relativna vlagi ob 14 uri. Murska Sobota III-VII (1955-1959)

Table 2

Frequency of whole day lasting weather types in different classes. Criterion relative humidity at 14^o. Murska Sobota III - VII. (1955-1959).

| % | K | SK | NK | A | AS | AN | AC | S | N | C | SC | NC | CK | SCK | NCK |
|----------|----|----|----|----|----|----|----|----|----|----|----|----|----|-----|-----|
| 21 - 30 | | | | | | | 1 | | | | | | | | |
| 31 - 40 | 3 | 1 | | 37 | 9 | 10 | 4 | 5 | 7 | | | | | | |
| 41 - 50 | 4 | 3 | 7 | 51 | 9 | 7 | 6 | 13 | 14 | | | | | | |
| 51 - 60 | 16 | 8 | 10 | 29 | 5 | 8 | 10 | 13 | 38 | 1 | | | | | 1 |
| 61 - 70 | 3 | 11 | 3 | 5 | 1 | | 13 | 8 | 15 | 4 | 1 | 1 | 2 | | |
| 71 - 80 | 2 | | 3 | | | | 8 | 6 | 11 | 4 | 2 | 4 | 2 | | 1 |
| 81 - 90 | | 1 | 2 | | | | 1 | 1 | 5 | 10 | 2 | 14 | | | 2 |
| 91 - 100 | | | | | | | 1 | | 8 | 1 | 5 | | | | |

Najbolj pogostne vrednosti pri K tipih so 51 - 60 %. Pri SK tipih se ta vrednost poveča na 61 - 70 %, dočim je pri NK tipih spet 51 - 60 %. Relativna vlagi ob 14 ur je pri tej grupi tipov še posebno nekonzervativna vrednost. Če je namreč pred to uro nastopila ploha, ki jo klasifikacija vključuje, je relativna vlagi precej drugačna kot, če je ta ploha nastopila šele po opazovalnem terminu. Tako lahko razlagamo proti višjim vrednostim pomaknjen spekter NK tipov in proti nižjim vrednostim pomaknjen spekter SK tipov.

Iz teh podatkov sklepamo, da nastopajo plohe pri NK tipih že pogosto pred 14 urami pri SK tipih pa so pogostnejše v kasnejših urah (po 14 ur). .

Grupa A tipov obsega najožji spekter z izrazitim maksimum za A tip v intervalu 41 - 50 % in manj izrazitima maksima pri AS in AN tipu, ki sta oba v prvem nižjem intervalu 31 - 40 %. Iz teh podatkov ne moremo sklepati kaj več kot to, da je vrednost relativne vlagi pri A tipu podana z dokaj veliko verjetnostjo ter da je pri A tipih z advektivno komponento relativna vlagi manjša. Podatkov za to trditev je precej manj.

Tretja grupa tipov AC, S, N, - se ponaša s tem, da zavzema zelo širok spekter vrednosti relativne vlagi. Tako ima relativna vlagi pri AC tipu vse vrednosti od 31 - 100 % vendar je najpogostnejša vrednost 61 - 70 %. Advektivni tipi imajo svoj maksimum: južni v intervalu 41 - 60 % in severni v intervalu 51 - 60 %. Torej pri oboh manjše vrednosti kot pri AC tipu. Relativna vlagi je odvisna od temperature in vlagi v zraku, temperatura pa v veliki meri od vrste in količine oblakov. Po definiciji že dovolj velika količina visokih oblakov odloči, da spada dan v AC, S ali N tip. Prav tako dopušča klasifikacija do tri ure trajajoče skupno količino oblačnosti pod 5/10, kar prav tako kot v slučaju visokih oblakov zadostuje za dvig temperature in s tem za padec relativne vlage. Ker dopušča klasifikacija tudi padavinu do 1 milimetra in je v dnevih s takimi padavinami tudi oblačnost gostejša ter tako tudil temperaturu stalnejša, najdemo verjetno v tem razlogu za dneve z visoko relativno vlagi.

Četrta grupa tipov - C, SC, NC, - ima kot ekstremin tip ponovno ožji spekter z maksimi v intervalih z visoko relativno vlagi. (81 - 90 %). Med osnovnim tipom C in tipi z advektivno komponento ne moremo opaziti razlik. Petra grupa je tudi v vseh potih letih in petih mesecih premalokrat nastopala, da bi iz maloštevilnih podatkov lahko kaj sklepali.

INTERDIURNE SPREMEMBE TEMPERATURE

Temperatura igra marsikdaj važno vlogo zato je potrebno, da spoznamo na kakšen način in v koliki meri je ta element vključen pri vremenskih tipih. Najti moramo neko metodo, ki bo kljub majhni pogostnosti nekaterih vremenskih tipov, dala neko informacijo o tem važnem elementu. O srednji dnevni temperaturi pri posameznih vremenskih tipih je težko govoriti, saj vemo, da igra že letni hod temperature veliko vlogo. Prav tako je težko obravnavati odklone od srednje mesečne ali srednje dekadne temperature. Najboljši rezultat bi dala pravzaprav primerjava temperaturnih sprememb, ki jih prinese vremenski tip v odnosu na vremenski tip, ki je bil dan prej. Ta obširna tabela ima mnogo premajhne pogostnosti v posameznih intervalih, da bi iz njih lahko kaj sklepali. Odločiti se moramo za poenostavitev v tem smislu, da obravnavamo interdiurne spremembe temperature vremenskega tipa z ozirom na prejšnji dan ne da bi jemali v poštev kakšen tip je vladal. Tako poenostavljeno tabelo interdiurnih sprememb prave srednje dnevne temperature (24 vrednosti) za cel dan trajajoče type za mesec marec do vključno julij za Mursko Soboto za leta 1955 - 1959 daje naslednje rezultate.

Pri pregledu mesečnih vrednosti razdelimo skalo interdiurnih sprememb temperature zaradi majhnih pogostnosti le v tri intervale:

1. sprememba sr.dnevne temperature $\leq -0.6^{\circ}$ (ohladitve),
2. sprememba sr.dnevne temperature -0.5 do 0.5° (brez spremembe)
3. sprememba sr.dnevne temperature $\geq +0.6^{\circ}$ C (otoplite).

Pregled tako razporejenih podatkov nam daje za mesec marec le te podatke. A ti tipi prinašajo pogosteje otoplite kot ohladitve. Tipi AC in S prinašajo dva do tri-

krat večkrat otoplitrve kot ohladitve, pri N tipih pa so pozitivne in negativne spremembe enako pogoste. Ostali tipi so premošči pogostni, da bi lahko kaj povedali o njih.

V aprilu nam posamezni vremenski tipi prinesejo naslednje temperaturne spremembe. A tipi petkrat pogosteje prinesejo otoplitrve kot ohladitve. Tudi AC tip prinaša otoplitrve trikrat bolj pogosto kot ohladitve, vendar je njegova pogostnost v primerjavi z marcem močno znižana. Še bolj izrazit je S tip s petinpolkratno pogostejšimi otoplitrvmi. O N tipu težko povemo kaj več kot to, da zelo pogost prineše temperaturne spremembe (drugi interval slabo zastopan), vendar sta pogosta oba ostanala intervala. Le neznatno močnejše je zastopan prvi interval (ohladitve). C tipi, ki jih je v tem mesecu največ v obravnavanih mesecih, prinašajo navadno ohladitve.

Majski podatki nam kažejo naslednje značilnosti. Poveča se še nadalje število A tipov prav tako pa tudi razmerje med pogostnostmi teh tipov v tretjem in prvem intervalu. To razmerje naraste kar na 7:1. AS tipi prinašajo samo otoplitrve in celo AN tipi prinesejo dvakrat pogostnejše otoplitrve kot ohladitve. AC tipi ne prinašajo nobenih znatenih temperaturnih sprememb. S tip prinaša otoplitrve, pri N tipu pa je pogostnost v prvem intervalu le neznatno večja od pogostnosti v tretjem.

V juniju se precej poveča pogostnost K grupe tipov. Razporeditev je v intervalih precej enakomerna, le SK tipi kažejo tendenco k ohladitvam in NK tipi imajo majhno pogostnost v drugem intervalu. Tudi v tem mesecu prinašajo A tipi šestkrat pogostnejše otoplitrve kot ohladitve. Veliko je to razmerje tudi pri A tipih z advektivno komponento. Od tretje grupe lahko omenimo S tip, ki prinaša otoplitrve in N tip pri katerem sta pogostnosti v obeh ekstravnih intervalih precej enaki. Grupa C tipov prinaša samo ohladitve ob enem primeru v drugem intervalu.

V juliju še nadalje raste grupa K tipov, vendar najdemo značilnosti le pri K in SK tipih, ki prinašata ohladitve, dočim NK tip ni jasneje opredeljen. A tip se dalje prinaša petkrat pogostnejše otoplitrve kot ohladitve. Ostali tipi so zelo malokrat zastopani in ne moremo o njih nič povedati.

Oglejmo si nekoliko kakšne so razlike v podatkih iz meseca v mesec. Za K grupo lahko povemo, da raste v juniju in juliju razmerje med pogostnostmi v prvem in tretjem intervalu pri SK tipih, pri NK tipih pa je v teh dveh mesecih precej neodrejeno. V drugi grapi tipov opazimo, da raste razmerje med pogostnostmi v tretjem in prvem intervalu pri A tipih; od 2 v marcu, na 5 v aprilu, 7 v maju in pada; v juniju na 6 in v juliju na 5. Medtem, ko v vseh mesecih AS tipi prinašajo otoplitrve večkrat kot ohladitve je AN tip precej neundefiniran. Pogostnost AC tipov v mesecih pada, vendar lahko ugotovimo, da v mesecih marec in april ta tip prinaša otoplitrve v naslednjih pa postane neutralen. S tipi so vezani vedno na otoplitrve. N tipi prinašajo v mesecu marcu, aprilu in maju ter juliju neznatno pogostnejše ohladitve kot otoplitrve, v juniju pa sta pogostnosti precej enaki. Pri C grapi ni zaradi neznatne pogostnosti mogoče zaslediti sprememb iz meseca v mesec. Že iz letnega časa je razumljivo, da prevladujejo ohladitve.

Za grobo oceno kakšne interdiurne spremembe temperature prinašajo posamezni vremen-

ski tipi jo primerno če združimo podatke za vseh pet obravnavanih mesecov za vsa leta (tabela 3).

Tabela 3

Pogostnosti interdiurnih sprememb srednje temperature za cel dan trajajoče tipe skupno III - VII. Murska Sobota (1955-1959)

Table 3

The frequency of interdiurn changes of mean daily temperatures for whole day lasting weather types together III - VII. Murska Sobota (1955-1959).

| | K | SK | NK | A | AS | AN | AC | S | N | C | SC | NC | CK | SCK | NCK |
|------|----|----|----|----|----|----|----|----|----|----|----|----|----|-----|---------|
| -0,5 | 10 | 14 | 9 | 19 | 2 | 7 | 11 | 7 | 40 | 16 | 5 | 18 | 1 | 1 | 2 dnevi |
| +0,5 | 11 | 8 | 3 | 21 | 2 | 3 | 11 | 7 | 13 | 5 | 3 | 2 | " | " | " |
| ≥0,5 | 7 | 2 | 13 | 83 | 20 | 15 | 21 | 32 | 37 | 6 | 1 | 3 | 1 | 1 | " |

K tip največkrat ne povzroči spremembe temperature, če pa jo, je ohladitev le malo bolj pogostna kot otoplitrve. SK tip povzroča pogostno ohladitev. Pri NK tipu so temperaturne spremembe pogostne, drugi interval malo zastopan, in prevladujejo otoplitrve. Pojav pogostnosti pri NK in SK tipu je morda prav nasproten, kot smo ga pričakovali. Razliko lahko razložimo z oceno dneva od katerega smo računali interdiurno spremembo. Ker SK in NK tipi navadno sledijo prodorom hladnega zraka, sklepamo iz teh podatkov na naslednji razvoj. Pri SK tipih dobimo hladnejši zrak šele kasneje po prodoru in nastane tako tudi razlika z negativnim predznakom. Pri NK tipih dobimo hladen zrak takoj ob prodoru, kar se manifestira z hladnimi NC, C ali N tipi. Drugi dan že nastopa insolacija, ki včasih spremeni predznak iz negativnega v pozitivnega.

V drugi grapi tipov najdemo naslednje značilnosti. A tipi prinašajo v pretežni večini otoplitrve (68%) ob 17% dnevov v drugem intervalu. Prav tako tudi AS tipi, le da je razmerje še večje, 83% v tretjem in 8% v drugem intervalu. Celotno AN tipi prinašajo v 60% otoplitrve in samo v 30% ohladitve.

Pri AC tipu je pogostnejša otoplitrtev in prav tako pri S tipu. Razmerje v korist otoplitrtev je pri prvem 2:1 in pri drugem celo 5:1. N tip se tudi v povprečju za pet monatov ponaša s tem, da prinaša temperaturne spremembe, vendar le te niso odrejene. Gotovo je, da izhaja ta rezultat v veliki meri iz tega, da trajajo N tipi po več dni ter dobi tako interdiurna razlika pogosto tudi pozitivno vrednost. Vpliv ima verjetno tudi raznolikost zračnih mas, ki prihajajo od severa, saj dobimo tudi od severa lahko otoplitrtev. Veliko vlogo ima tudi insolacija, ki jo tu ne obravnavamo.

Pri C tipih je značilno to, da prinašajo vsi ohladitve. Tudi pri peti grupi tipov morda lahko zasledimo tendenco k ohladitvam.

Iz pregleda teh podatkov lahko razberemo prve grobe karakteristike temperaturnih sprememb, ki jih prinašajo posamezni vremenski tipi. Ta problem, ki smo ga nakanali pa bo treba obravnavati pri bodočem delu prav s stališča interdiurnih sprememb temperature določenega vremenskega tipa na določeni vremenski tip v posameznih mesecih. Za ta način dela, ki bo veliko bolj natančen, pa bo potrebno znatno daljše obdelano obdobje.

ZAKLJUČKI

V delu smo skušali raziskati značilnosti nekaterih meteoroloških elementov in karakteristik pri posameznih lokalnih vremenskih tipih, ki v uporabljeni klasifikaciji vremena nišo eksplicitno vsebovane. Pokazalo se je, da imajo ti elementi pri posameznih vremenskih tipih precej izražene skupne poteze. Te so zaradi generalizacije vremenskih tipov (advekcija je reducirana le na smer sever in jug) pri nekaterih vremenskih tipih manj izražene. Za točnejšo in jasnejšo sliko bo potreben obdelati precej daljše obdobje in opustiti generalizacijo, ki nam marsikaj zabriše.

LITERATURA

- Čadež M.: O tipovima vremena. Hidrometeorološki glasnik br. 1 - 2. Beograd 1949.
- Evans L.T.: Environmental Control of Plant Growth. Edited by T.Evans. Academic Press New York and London 1963.
- Fliri F.: Zur Methodik der dynamischer Klimakunde in den Ostalpen. Wetter und Leben. Heft 1 - 2, Wien 1960.
- Foltánová D.: Dynamicko - klimatologické hodnocení teplotních a srážkových poměrů v Brně. Meteorologické zprávy. Číslo 2. Praha 1964.
- Hidrometeorološka služba FNR Jugoslavije: Godišnjak aerološke observatorije u Beogradu 1952. Beograd 1956.
- Hočevar A.: Lokalni vremenski tipi v Sloveniji pozimi. Razprave - Papers IV. Društvo meteorologov Slovenije. Ljubljana 1964.
- " " Lokalni vremenski tipi v Sloveniji v letih 1957 in 1958. Razprava - Papers V. Društvo meteorologov Slovenije. Ljubljana 1965.
- Nosek M.: Srážkové singularity ríjna na území ČSSR. Meteorologické zprávy. Číslo 2. Praha 1964.
- Petřovič Š.-J.Šoltis: Dynamická klima Podunajskej nížiny. Meteorologické zprávy. Číslo 1. Praha 1964.

OBLAČNOST, VETROVI IN MEGLA OB HLAĐNIH FRONTAH V SLOVENIJI

CLOUDINESS, WINDS AND FOG AT COLD FRONTS IN SLOVENIA

Zdravko Petkovšek

551.506.2

Summary:

The mentioned element at cold fronts in the year 1957 and some parameters derived from them are treated for Slovenia (NW part of Yugoslavia). In that year 86 cold fronts passed this country; some elements and parameters by them were already treated by the author, as seen in references.

In the present paper the daily mean cloudiness is treated in the days at the front passage e.g. on the day of frontal passage and the both adjoining days. In table 1 mean values of cloudiness in the mentioned days will be seen. The average value of cloudiness for the year considered is 6,0/10, however. The greatest difference in the cloudiness distribution from that presented in table 1 is to be found in the coastal region (Primorska) where the cloudiness is the greatest on the day before the front and the smallest on the day after the frontal passage, and that due to fémisation of air over the Alps and due to bora.

Because of topographical ununiformity of terrain, the winds in Slovenia have neither unit direction nor approximately the same velocity. Therefore the special parameter "Windness" is defined with the number of stations where the winds overtook the force 3 or 4 Bf respectively. As 11 1st-order stations of the district were taken in account, the maximum value of windness is 11; particular values of this parameter in the days of frontal passage will be seen in table 2. The table presents too, that the winds in Slovenia are on the whole slight or that strong wind are rare here. More characteristic are therefore changes in winds direction as will be seen on table 3. Among them is the most peculiar frequent east component that takes place after the front passage and is due to deformation of front on the Alps. More than by cloudiness peculiarities of weather development in costal regions are expressed by this windness and are due to bora (Table 4).

The fog is in Slovenia prevalently of radiation type. So its frequency (or defined "foginess") has the opposite distribution than cloudiness and windness in the days of consideration (see table 5). This rule is not valid for the costal region, where the radiation fog cannot take place and the advection fog is very rare too.

UVOD

Oblačnost in posebej definirana parametra za vetrovnost in meglenost so proučeni za področje Slovenije v času dominante hladnih front v letu 1957. Hladne fronte so bile določene na podlagi primerjave analiz oziroma koledarjev front štirih sinoptičnih centrov: Ljubljane, Žuricha, Frankfurta in Wiena. Po izločitvi sedmih primerov front, pri katerih so se razvile izredno močne sekundarne depresije, je ostalo za proučevanje 86 hladnih front. Glede na izsledke Schumannia in Rooya (1952), je pogostost front v tem letu zelo blizu večletnega povprečka frekvence front za to področje; število samo pa je dovolj veliko, da je bilo mogoče dobiti reprezentativne vrednosti. Natančna analiza prehoda teh front čez Slovenijo je omogočila različne primerjave, ki jih je avtor že izvedel (Petkovšek 1959, 1963 in 1964); nadaljnji del primerjav glede na navedene parametre pa je podan v tem delu.

OBLAČNOST

Za proučevanje oblačnosti ob hladnih frontah vzamemo kar srednjo dnevno oblačnost oziroma povprečje srednje dnevne oblačnosti za enajst sinoptičnih postaj, ki nam predstavljajo razmere Slovenije. Njihov povpreček nam tako predstavlja oblačnost Slovenije kot celote. Pri analizi in časovnem določanju prehoda front je bila proučena oblačnost in tudi vrsta oblakov po urnih vrednostih in po posameznih krajih. Za splošen pregled, ki nas tu zanima, pa srednje vrednosti oblačnosti povsem ustrezajo.

Povprečna vrednost srednje dnevne oblačnosti v dneh prehoda front je 7,5 desetin pokritega neba. To pomeni, da je bila oblačnost v dneh prehoda front sicer res nad celoletnim povprečjem za vse dni - ta znaša v tem letu 6,0 desetin - vendar ne toliko, kot bi verjetno pričakovali. Kakor pri drugih elementih, velja tudi pri oblačnosti, da vpliv fronte ni omejen samo na dan prehoda, ampak se lahko odraža tudi v dneh pred in v dneh po prehodu. Razširjenost vpliva fronte na oblačnost je seveda zelo različna in včasih težko določljiva. Vzemimo v proučevanje tri dni, to je dan prehoda fronte, en dan prej in en dan potem. Srednja dnevna oblačnost za te dni

je 6,9 iz česar sledi, da so v oblačnosti hladne fronte relativno slabo izražene.

Povsem pravilno razporeditev v vseh omenjenih dneh ob fronti je mogoče dobiti le v primerih, kadar v tem časovnem obdobju ni drugih front. Kadar pa si fronte naglo sledi, so potrebne dodatne analize in redukcije. Kjer je mogoče, tvorimo difference oblačnosti sosednjih dveh dni glede na oblačnost v dnevu prehoda fronte. Določimo njihove srednje vrednosti in z njimi povprečno oblačnost v sosednjih dveh dneh glede na vrednost oblačnosti v dnevu prehoda fronte. Dobljene končne rezultate kaže tabela:

Tabela 1

Povprečna oblačnost v Sloveniji v dneh ob prehodu hladnih front

Table 1

Mean cloudiness in the days of the front passage

| Dan | Pred prih. fronte | Prihoda fron- te | Po prihodu fronte |
|-----------|----------------------|---------------------|----------------------|
| oblačnost | 6,3 | 7,5 | 5,8 |

Iz tabele je razvidno, da je na dan prihoda fronte povprečno najbolj oblačno v dnevu, ko nas fronta preide. Van pred prinodom hladne fronte je v povprečju za 1,7 desetine manj oblačen, vendar je njegova vrednost še nad splošnim letnim povprečkom; dan ob prehodu fronte pa je za 1,7 desetin manj oblačen in obenem pod letnim povprečkom oblačnosti. Iz tega sledi, da se oblačnost ob hladnih frontah pri nas giblje v skladu s splošno shemo razporeditve oblačnosti ob hladnih frontah ter da kmalu po prehodu nastopajo znatne razjasnitve. V posameznih primerih razporeditev oblačnosti močno odstopa od tega povprečja. Niso izjemni primeri z nasprotno razporeditvijo, vendar pa so ti posledica drugih vplivov in večinoma niso odvisni od lastnosti fronte same.

Proučevanje oblačnosti posameznih delov celotnega področja je pokazalo, da odstopa od večine predvsem in najčešči Primorska. Tako je včasih močno oblačno le na Primorskem, kar se dogaja večinoma pred fronto, vzrok pa so jugozahodni vlažni vetovi, ki se zaradi obalne konvergencije in orografskih prilik prisilno dvigajo. Primorska pa izstopa tudi v nasprotni razporeditvi tako, da ima razmeroma malo oblačno ali celo pretežno jasno ob času, ko je večina ostalega področja Slovenije prekrita z oblaki. Primeri nastopajo večinoma ob nasprotni smeri vetrov, to je z burjo, kot izrazitim predstavnikom katabatičnih vetrov. Zanimivi so še primeri, ko ima oblačnost Primorska na eni in severovzhodna Slovenija na drugi strani, medtem ko ima pretežni del osrednje Slovenije le delno oblačnost. Ti primeri so v splošnem kratkotrajni in le redko izraženi v srednji dnevni oblačnosti oziroma njeni geografski razporeditvi, čeprav niso redki. Oblačnost na Primorskem nastane na zgoraj opisani način pred

fronto in je v precejšnji meri lokalni pojav, dočim je oblačnost na vzhodu že oblačni sistem same prihajajoče fronte in se giblje z njo.

Iz obravnavanega sledi, da imajo hladne fronte na oblačnost v Slovenije sicer znaten vpliv, vendar brez visokih korelacij in jakosti glede na ostale faktorje, ki oblačnost povzročajo. Zlasti v zimski dobi lahko postane vpliv hladne fronte na oblačnost sekundarnega pomena. Proučevanje oblačnosti nam zato v splošnem ne pomaga dosti pri izdelavi slike o številu, časovnem določanju in določanju jakosti posameznih front. V tem pogledu je mnogo važnejše in koristnejše proučevanje vrste oblakov. Razumljivo je, da nastopajo ob sami fronti večinoma kompaktni, a neenotni oblačni sistemi močnega vertikalnega razvoja. Tanjši oblačni sistemi se pojavijo le ob brezpadavinskih in degeneriranih frontah; te pa so razmeroma redke. Najančnejša opredelitev in proučevanje vrste oblakov lahko znatno prispeva k analizi procesov, ki se dogajajo. Z marsikaterega stališča obravnavanja vremena pa oblačne vrste niso bistvene, zato jih sedaj pustimo ob strani; sodobna radarska tehnika pa lahko neposredno sledi tudi brezoblačne hladne fronte (Ligda and Bigler 1958).

VETROVI IN VETROVNOST

Razporeditev vetrov pri teh ali spremembam vetra v nekem kraju sta parametra, ki sta zajeta pri mnogih klasifikacijah tipov hladnih front. Fizikalna osnova teh parametrov leži v konvergentnosti tokov ob fronti. V skladu z dinamičnim mejnim pogojem, ki pove, da morejo ležati fronte le v izobarnih dolinah, se veter ob prehodu hladne fronte odkloni na desno od smeri, ki jo je imel pred fronto. Tako je vsaj pri klasičnih frontah, ki se gibljejo preko ravne površine.

Lokalni pogoji imajo na smer in jakost vetrov razmeroma velik vpliv. Povzročajo tudi lokalne vetrove, ki so lahko znatno močnejši od vetrov, ki jih povzroča splošno barično polje. Pri proučevanju vetrov ob hladnih frontah se skušamo nekaterim takim vplivom izogniti, da bi dobili komponente, ki so posledica fronte. Izkazalo pa se je, da često prav hladna fronta ustvari potrebne predpogoje za nastanek močnih lokalnih vetrov npr. burje, ki je torej posredna posledica prihoda hladne fronte in spada v področje, ki nas zanima. Ostre meje med lokalnimi in splošnimi vplivi zato ni mogoče postaviti. Drobni lokalni vplivi so eliminirani oziroma prekriti tedaj, če se omejimo na proučevanje relativno močnejših vetrov. Taka omejitev pa je smiselna tudi zato, ker so le močnejši vetrovi splošno važni in lahko prispevajo k karakteristični vremenu. Šibki vetrovi so stranskega pomena za ogromno večino dejavnosti in jih tudi vremenska napoved ne upošteva.

Postavka "močnejši vetrovi" pa je relativna, zato jo bomo za naše potrebe posebej opredelili. V nadalnjem proučevanju bomo zato upoštevali le vetrove z jakostjo, ki je enaka ali večja od 3 Bf. Za dva više ležeča kraja Jezersko in Postojna, ki sta v primerjavi z ostalimi precej vetrovna, pa vetrove z jakostjo, ki je enaka ali večja od 4 Bf. S temi vetrovi bomo določali vetrovnost posameznih dni ob hladnih frontah. Vetrovnost bo določena s številom postaj, ki so zabeležile v ustrezniem dnevu veter z jakostjo nad omenjenimi mejami. Vseh krajev, ki nam predstavljajo Slo-

venijo, je 11, zato bo imela maksimalna vetrovnost vrednost 11, dočim bo minimalna seveda 0, kar pomeni, da ni imel tako močnega vetra nobeden od upoštevanih krajev. Tudi vetrovnost je, kot sledi iz njene definicije, nekakšna dnevna vrednost, ki zato ne dovoljuje velike časovne natančnosti in ni primerna za časovno določanje prehoda front. Lepo pa nam lahko predstavi splošne vetrovne karakteristike v dneh ob prehodu hladnih front. Če proučujemo vetrovnost podobno, kot dnevne vrednosti oblačnosti, ter jo grupiramo glede na dan prihoda hladnih front v Slovenijo, dobimo sledičo razporeditev:

Tabela 2

Vetrovnost v Sloveniji v dneh ob prehodu hladnih front

Table 2

"Windness" in the days of the front passage

| Dan | Pred prihodom fronte | Prehoda fronte | Po prihodu fronte |
|------------|----------------------|----------------|-------------------|
| vetrovnost | 1,5 | 2,3 | 1,4 |

Iz tabele lahko sklepamo, da so vetrovi v Sloveniji v splošnem slabici. Vetrovnost je glede na postavljene meje zelo majhna celo ob hladnih frontah, ko po splošni shemi nastopajo razmeroma močni vetrovi. Van pred in van po prihodu fronte sta očitno precej enako vetrovna, dočim je vetrovnost na dan prihoda fronte v skladu s splošno shemo relativno znatno večja, dasi absolutno vzeto tudi majhna.

Določanje skupne smeri vetrov je problematična ker nastopa v Sloveniji zaradi razgibanosti reliefa večinoma velika raznolikost. Pomagamo si tako, da določimo skupno smer vetrov, kadar ta nastopa, le za tiste dni, ki so imeli vetrovnost večjo od 4. Pri tem je moralo imeti vsaj 3/4 postaj isto smer vetra. Pogostost nastopa posameznih smeri proučimo v vsakem dnevu ob fronti. Rezultate takega proučevanja kaže tabela 3. Iz nje je razvidno, da je na dan pred prihodom fronte skupna smer vetrov v Sloveniji večinoma iz jugozahodnega kvadranta, dočim na dan po prehodu hladne fronte močno prevladujejo smeri severovzhodnega, to je, prav nasprotnega kvadranta. Na dan prehoda fronte sta oba kvadranta približno enako zastopana in znatno močnejša od ostalih dveh. Ta razporeditev je očitno posledica dolžine dneva, ki je znatno večji od časa samega prehoda fronte.

Tabela 3

Pogostnost nastopa posameznih skupin smeri vetrov v dneh ob prehodu hladnih front za dni z vetrovnostju ≥ 4

Table 3

Frequency of particular wind-directions for days with windness ≥ 4

| Smer | Dan: | Pred prihodom fronte | Prehoda fronte | Po prehodu fronte |
|---------------|------|----------------------|----------------|-------------------|
| NE | | 10 | 18 | 35 |
| E | | 7 | 15 | 23 |
| SE | | 3 | 2 | 5 |
| S | | 18 | 7 | 2 |
| SW | | 23 | 13 | 7 |
| W | | 23 | 13 | 7 |
| NW | | 3 | 3 | 5 |
| N | | 3 | 15 | 5 |
| nedol.primeri | | 10 | 14 | 11 |

Če je namreč prešla fronta Slovenijo v zgodnjih jutranjih urah, so ta dan prevladovali pofrontalni vetrovi, če je prišla fronta zvečer, so prevladovali predfrontalni. Vsekakor je očitno, da so vetrovi pred prihodom fronte pretežno jugozahodni v skladu s splošno shemo; po prehodu fronte pa niso severozahodni, kot naj bi bili po splošni shemi, ampak severovzhodni. Vzrok temu so Alpe, ki jih mora glavna hladna zračna masa obiti, nato pa se preliva okoli njihovega vzhodnega roba iz Panonske kotline preko naših krajev v severno Sredozemlje. Kratko rečeno, vzrok je v deformaciji fronte na Alpah, ki je torej v pogledu vetrov v Sloveniji lepo izražena.

Pri proučevanju celotnega vremena v Sloveniji v tem letu (Petkovšek 1960) se je izkazalo, da je glede vetrov Slovenijo neprimerno proučevati kot celoto, ampak jo je koristno razdeliti vsaj na dva glavna dela. Prvi del tvori Primorska (postaje Postojna, Ajdovščina in Koper), drugi pa ves ostali del Slovenije. Če tako razporedimo vetrovnost v dneh ob frontah za oba dela ločeno, dobimo vrednosti, ki jih vidimo iz tabele 4.

Ločeni razporeditvi sta očitno med seboj precej različni in karakteristični. Vetrovnost na Primorskem je torej najmanjša na dan pred prihodom fronte. Na dan prehoda je nekoliko večja, vendar pa je največja šele naslednji dan. V tej razporeditvi se očitno izraža prevladujoč vpliv burje, ki more nastopiti šele, ko se vzhodno ležeče kotline docela napolnijo s hladnim zrakom. Razporeditev za ostalo Slovenijo je podobna skupni razporeditvi podani v tabeli 2, vendar je razlika med dnevom pred fronto in dnevom po njenem prehodu znatno večja in značilna. Vetrovnost na dan pred prihodom fronte je skoro tako velika kot na dan prehoda fronte ter je

posledica omenjenih močnih jugozahodnih vetrov. Dan po prehodu fronte je za kotline Slovenije (v njih leži večina upoštevanih postaj) relativno najmirnejši. Hladen zrak, ki je zalil kotline, razmeroma mirno leži v njihovem spodnjem delu in le zgoraj odteka nad toplo Jadransko morje v obliku burje, ki je prav tedaj navadno najmočnejša.

Tabela 4

Vetrovnost v dneh ob prehodu hladnih front, ločeno za dva dela Slovenije

Table 4

Windness for two parts of Slovenia respectively

| Vetrovnost: | dan | Pred prihodom fronte | Prehoda fronte | Po prehodu fronte |
|----------------------------|-----|----------------------|------------------|-------------------|
| Primorske ostale Slovenije | | 0,9 (2,7) 2,4 | 1,2 (3,2) 2,6 | 1,6 (4,3) 2,0 |

Vrednost obeh delov pa med seboj ne smemo brez nadaljnega primerjati, ker je izracunana vrednost prvega le na treh, drugega pa na podatkih osmih postaj. Če pomnožimo vrednosti za Primorsko z ustreznim sorazmernostnim faktorjem, dobimo vrednosti, ki so v gornji tabeli v oklepaju. Iz njih vidimo, da je Primorska v celoti bolj vetrovna kot ostala Slovenija, ter jo, vkljub naraščajoči razporeditvi, tudi v vrednostih za prvi dan - dan pred prihodom fronte, močno prekaša.

Glede smeri vetrov velja v povprečju za oba dela dokaj enaka razporeditev kot je bila dobljena pri skupnem obravnavanju in je podana v tabeli 3. Severovzhodna komponenta pa je na Primorskem v obliku burje po prehodu fronte doslednejša in pogostejša, medtem ko je v ostali Sloveniji, zlasti v primerjavi z jugozahodnikom, relativno slabo izražena.

MEGLA IN MEGLENOST

Že fizikalni prevdarek o odvisnosti procesov, ki ustvarjajo ali razkrajajo meglo in njihove odvisnosti od procesov ob hladnih frontah nam pove, da je zveza med njimi indirektna, vendar ne brez pomena. Megla je v kotlinah Slovenije pogost pojav, medtem ko je ob obali malo. Za slovensko obalo, ki ima glede megle dokaj svojevrstne razmere, je bilo že ugotovljeno, da obstaja precej očitna zveza med nastankom megle in približevanjem hladne fronte, pri čemer se je pokazalo, da je kritična oddaljenost fronte odvisna od smeri njenega prihoda (Petkovšek 1957).

Prava "megla hladne fronte" v smislu Willetove klasifikacije, ki jo je razširil Bayers (1944), zaradi orografskih razmer pri nas nima ugodnih pogojev za nastanek. Zato so prave tovrstne megle v Sloveniji redke, če že ne izjemne. Ogromna večina primerov megle, ki nastaja po kotlinah Slovenije je radiacijskega tipa. Nastanek

megle je tu zato predvsem odvisen od razporeditve oblačnosti v dnevnem času. Poleg zadostne vlažnosti zraka so seveda zanje potrebne jasne noči. Razporeditvi oblačnosti in megle v Sloveniji si morata biti torej, glede na prevladujoči tip megle, ne-kako nasprotni. Ustrezna statistika nam to v celoti potrdi. Če definiramo megle-nost s številom postaj, ki so imele tisti dan meglo (maksimum je 11) in poišemo povprečno vrednost tega novega parametra za vsak dan ob hladni fronti, dobimo re-zultate, ki jih podaja naslednja tabela

Tabela 5

Povprečna meglenost v Sloveniji v dneh ob prehodu hladnih front.

Table 5

Mean "foginess" in the days of the front passage

| Dan | Pred prihodom fronte | Prehoda fronte | Po prihodu fronte |
|-----------|-------------------------|-------------------|----------------------|
| meglenost | 1,2 | 1,1 | 1,4 |

Razvidno je, da je razporeditev meglenosti zares nasprotna razporeditvi ob-lačnosti in tudi nasprotna razporeditvi vetrovnosti, vendar so razlike med posamez-nimi dnevi glede meglenosti razmeroma majhne. Najmanjša meglenost na dan prehoda fronte je torej posledica velike oblačnosti še bolj pa močnejših vetrov, ki onemo-gočajo nastanek radiacijske megle.

Splošna povečana oblačnost in vetrovnost v dneh ob prihodu hladnih front se tako prav v meglenosti prav lepo izražata. Povprečna meglenost za vse dni v letu je namreč 1,9. Meglenost kateregakoli dne ob fronti pa je, kot kaže gornja tabela, znatno nižja in opozarja na zavirajoč učinek front na pojav megle v Sloveniji. Tako to - rej lahko ugotovimo, da je ob hladnih frontah v Sloveniji znatno manj megle kot si - cer. Zadnja trditev pa ne velja za dneve pred prihodom fronte na Primorsko, kjer je megla pretežno advekcijskega tipa. Tam je megla najpogostnejša prav ob toplih jugo- zahodnih vetrovih pred hladno fronto, čeprav je, glede na ostalo Slovenijo, megle tam malo.

LITERATURA:

Bayers H.R.: Fog, General Meteorology, London 1944

Ligda and Bigler: Radar Echoes from a Cloudless Cold Front, Jurnal Met. Vol.15, No-6, 1958

Petkovšek Z.: Megla ob Slovenski obali. 10 let Hidrometeorološke službe, HMZ, Ljubljana 1957

" : Der Einfluss der Alpen auf die Kaltfront-Bewegungen, Berichte Deutsch.Wetterd. Nr.54, 1959

" : Poseben prikaz vremena v Sloveniji za leto 1957, Univerza v Ljubljani, FNT, Ljubljana 1960

" : Uporedjenje efekata koje prouzrokuju hladni frontovi sa one i ove strane Alpa, Zbornik met.i hidr.radova I - 1, Beograd 1963

" : Padavine ob hladnih frontah v Sloveniji, Razprave - Papers IV. DMS, Ljubljana 1964

Schumann and Rooy: Frequency of fronts in the Northern Hemisphere, Archiv Met.Geoph. Biokl.Band IV, 1952.

LADIJSKA OPAZOVANJA OB PREHODU HLADNE FRONTE ČEZ SEVERNI JADRAN 25.-27.FEBRUARJA
1965.

SHIP'S OBSERVATIONS DURING THE COLD FRONT PASSING THE NORTH ADRIA IN THE DAYS
25th - 27th FEBRUARY 1965

France Bernot

551.506.5

Summary:

Author of the present paper was on board of the ship "Argonaut" during her oceanographic cruising in north Adria. He was in charge of meteorological observations.

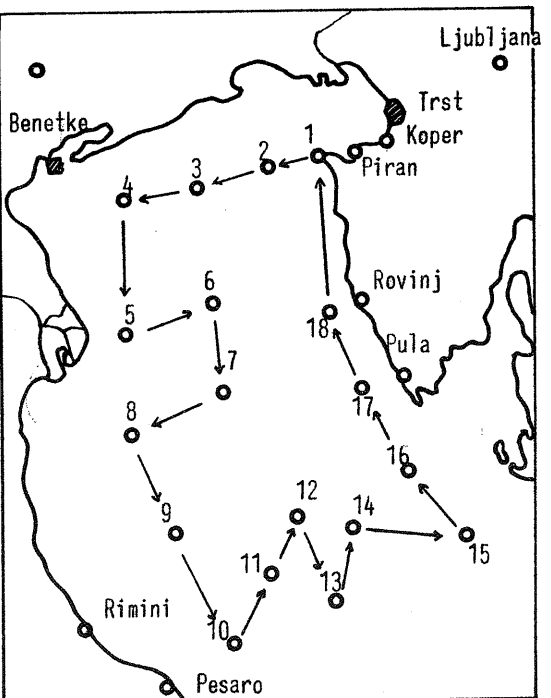
From weather maps it can be seen that a weak centre of low pressure with its own circulation was formed in the Gulf of Trieste on 25th and 26th February.

On 26th of February the ship crossed this centre and met all phenomena connected with it. The strong winds and high waves have even broken the series of meteorological observations for a time.

By the comparison of the data of coastal weather stations to meteorological observations on board it is seen, that only the first ones, although the distances between them are rather small (100-130 km), are not sufficient for preparing a good weather forecast over the sea, which is used for navigations purposes and fishers. The wind speed over the sea is namely always higher than at coastal stations when measured at the same time.

Zavod za raziskavo morja SR Slovenije v Portorožu opravi vsak mesec večnevno potovanje z raziskovalno ladjo "ARGONAVT" po severnem delu Jadrana. Na teh potovanjih opravi posadka ladje, na stalnih točkah, tkim postajah, razna fizikalna, kemična in biološkomaritimna opazovanja in meritve ter nabira razne vzorce za kasnejše laboratorijske analize.

Takega potovanja se je februarja 1965 udeležil tudi avtor tega prispevka. Njegova naloga so bile meteorološke meritve in opazovanja. Rezultate teh meritov prikazuje tabela. Temperatura zraka je bila merjena na skrajnjem prednjem delu ladje, na privetni strani, nad morjem, z aspiracijskim psihometrom, zato lahko predpostavimo da ladjina toplota ni učinkovala na termometre. Hitrost vetra je bila merjena z el. ročnim anemometrom v višini 5 - 6 m nad morsko gladino. Smer vetra pa je bila določena po ladijskem kompasu. Zračni pritisk je bil merjen z aneroidom v višini vodne gladine. Zaradi prevelike instrumentalne korekcije so podatki o dejanskem pritisku zraka dvomljivi, vendar so dobrodošel pokazatelj barometerske tendence.



Slika 1 Razpored postaj na severnem Jadranu

Picture 1 Distribution of observation points over North Adria

Argonaut je izplul iz Pirana dne 25. februarja 1965 ob 02,00 uri. Sinoptična situacija in njen razvoj v teh dneh je bil takole: Nad Severnim Atlantikom se je zgradilo močno in obsežno področje visokega zračnega pritiska (25. feb. 1965), katerega najvhodnejši del je segal še v Srednjo Evropo in nalik klinu razdvajal področje nizkega zračnega pritiska s središčem nad Finsko od slabše depresije nad Južnim Jadranom, ki se je polagoma pomikala proti vzhodu in se postopno polnila.

Hladna fronta, ki je 25. II. potekala preko Škotske in skrajnega severnega robba Nemčije se je pomikala proti jugu.

Tega dne smo imeli nad Severnim Jadranom mirno, zamegljeno sončno vreme, ki je omogočalo izpolnitve naše naloge.

26. februarja 1965, v zgornjih jutranjih urah je bila barična situacija skoraj nespremenjena, le hladna fronta je ležala preko Srednje Evrope in povzročala tamkaj snežne padavine.

Nekako ob 7 uri zjutraj (26. feb. 1965) je hladna fronta prečkala Alpe in potekala čez naše kraje, kjer je dopoldan sprožila možno snežno ploho celo nad Koprom.

Kot je splošno znano nastane ob prodrovi hladnega zraka preko vzhodnih Alp in preko naših krajev nad Mediteranom često sekundarna depresija, katere središče leži nad Severnim Jadranom. V obravnavanem primeru se je preko celega Mediterana širilo področje nizkega zračnega pritiska, v okviru katerega se je razvila šibka lokalna depresija nad Severnim Jadranom.

Iz sinoptičnih kart za 26. februar 1965 je razvidno, da se je nad Tržaškim zalivom formiralo šibko središče nizkega pritiska, ki se je sprva še poglabljalo. Za to sekundarno depresijo je značilna lastna cirkulacija zraka (glej smer vetrovi!). Na naši plavajoči postaji na "Argonautu" smo 26. feb. 1965 ob 04. uri imeli ugodno vreme: morje je bilo mirno, pričel je pihati veter od juga (180°) s hitrostjo $2,5 \text{ m/sec.}$, a nebo je bilo jasno (pozicija ladje: $44^{\circ}2'$ severne geografske širine in $13^{\circ}13'$ vzhodne geografske dolžine - postaja št. 10).

Pluli smo proti severovzhodu. Na naši naslednji postaji (postaja št. 11: pozicija $44^{\circ}15'$ severne geografske širine in $13^{\circ}20'30''$ vzhodne geografske dolžine) je ob 7. uri pravtako pihal južni veter (180°) s hitrostjo $1,8 \text{ m/sec.}$ Oblačnost je znašala $1/8$, a morje je bilo rahlo valovito. Zračni pritisk je v zadnjih treh urah pada.

Eno uro kasneje (ob 8. uri) so na postaji št. 12 (pozicija $44^{\circ}26'$ severne geografske širine, $13^{\circ}27'$ vzhodne geografske dolžine) ladjo še enkrat ustavili. Opazovane in izmerjene so bile naslednje vrednosti: temperatura zraka $8,8^{\circ}$, smer vetra SSE (160°) s hitrostjo $7,7 \text{ m/sec}$, oblačnost $7/8$, morje razgibanmo, zračni pritisk še nadalje pada.

Nadaljnja merjenja meteoroloških elementov so bila zaradi vedno bolj razburkanega morja nemogoča. Stopnja razgibanosti morja je bila ob 10. uri 5-6.

Če naša ladijska meteorološka opazovanja vnesemo v ustreerne sinoptične karte, le ta odlično dopoljujejo vremensko sliko. Ob 10. uri je bil zabeležen močan veter

(SSE- 150°) le na ladji, medtem ko so ga tri ure kasneje (ob 13.uri) registrirali tudi v Puli. Na obalnih postajah so v tem času zabeležili rahel porast zračnega pritiska.

Podatki o hitrosti vetra na kopenskih postajah so vseskozi nižji od vrednosti, ki so bile istočasno izmerjene na ladji. V vrveh na jamboru, ki je molel več metrov preko vrha valov je veter žvižgal, kar dovoljuje cenitev njegove jakosti na stopnjo 6 po Beaufort-ovi skali. V posameznih sunkih pa je njegova jakost presegla stopnjo 8 B. Razburkanost morja je proti 13.uri še naraščala, vendar od 10.ure ni bilo sprememb v smeri vetra in v stopnji oblačnosti (Slika 2 b).

Čim bolj se je ladja bližala obali (okoli 15.ure smo zagledali obrise svetilnika Porer), toliko bolj je bilo čutiti blažilni vpliv kopnega na razgibanost morja. Jakost vetra in stopnja razgibanosti morja sta se naglo manjšali. V Puli v pristanišču, ki je na vse strani zaščiteno, je po pristanku ob 16.uri pihal zmeren vzhodnik (podatek sinop.postaje Pula-aerodrom), medtem ko smo na ladji opazovali ENE(60°) s hitrostjo 7,0 m/sec, a temperatura zraka je znašala $7,8^{\circ}$. Zračni pritisk je še padal. (Slika 2 c).

Še en bežen pregled temperaturnih razmer:

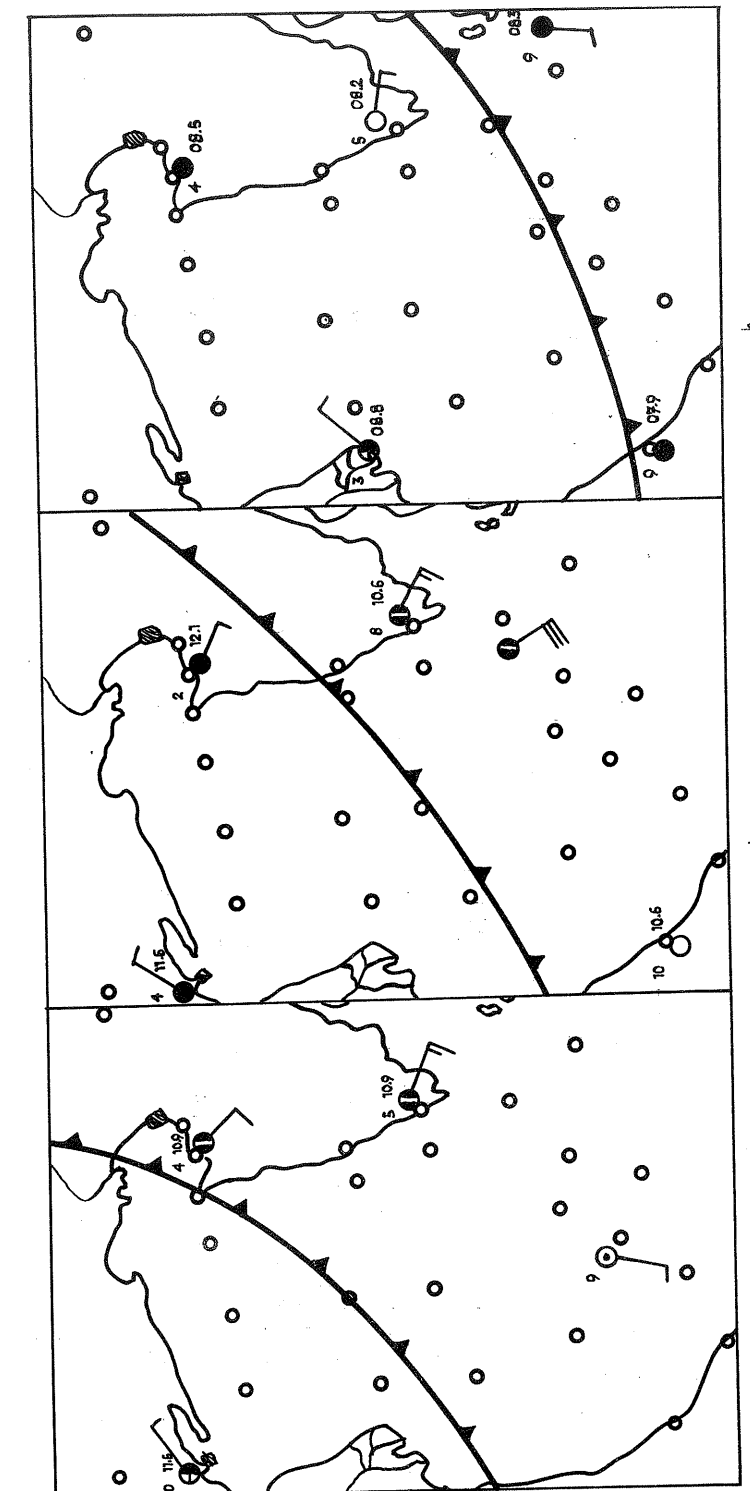
Ob 4.uri zjutraj (dne 26.11.1965) je hladen zrak zajeł Koper, Benetke in Rimini (temperatura zraka $0-2^{\circ}$), medtem ko so Pula, Pesaro in naša ladijska meteor. postaja bile še v toplem zraku ($6-9^{\circ}$). Ob 7.uri so bile temperaturne razmere ne-spremenjene razen v Kopru, kjer je znašala temperatura zraka 4° , a do 10.ure je v Kopru ponovno padla temperatura zraka in pričelo je snežiti. Ob 13.uri je preplayl celotno področje tržaškega zaliva - do črte Pula - Pesaro - hladen zrak. Od 13.ure naprej zasledujemo v Puli počasno padanje temperature zraka.

Od 26. na 27.februar 1965 je zračni pritisk še nadalje padal. Center depresije se je v tem premaknil na Južni Jadran (27.feb.1965 ob 07.uri). Tega dne je pihal zjutraj in dopoldan nad Severnim Jadranom veter iz severnega kvadranta (3,4 - 7,6 m/sec = 3 - 4,8), ter nekoliko razgibal vzhodno površino. Nebo, ki je bilo v zgodnjih jutranih urah še rahlo oblačno, se je proti polednemu zjasnilo. "Argonaut" je plul blizu obale, zato je imel razmeroma ugodno vožnjo.

Depresija, ki nam je predhodni dan povzročila nemalo težav, se je oddaljevala proti jugovzhodu in ob 13.uri doseгла ustje Korintskega zaliva.

Naše potovanje smo zaključili 27.februarja 1965 ob 15.uri.

Na naši poti smo - kakor je bilo iz opisa razvidno - prečkali dne 26.feb. 1965 lokalno depresijo in doživljali vse tipične pojave, ki tako barično formacijsko spremljajo. Iz podatkov obalnih meteор. postaj se ni moglo sklepati na tako močne vetrove, ki so zelo razgibali morsko gladino. Vsak sinoptik bi na osnovi ustrezne vremenskih kart predvidel le šibke vetrove in temu ustrezno stanje morske površine (stopnjo razgibanosti morja 1-2). To mnenje podkrepajo še podatki obalnih postaj, ki so tega dne ocenile stopnjo razgibanosti morja z "1".



Slika 2 Sinoptična situacija nad severnim Jadranom dne 26. februarja 1965
Picture 2 Synoptic situation over North Adriatic on 26th February 1965

Tabela 1
Podatki izmerjeni na "ARGONAVTU" in na nekaterih obmorskih postajah v februarju 1965

Table 1
Data measured on board of the ship "ARGONAVT" and in some coastal stations in February 1965

| Št. post. | Ura | Temp. z raka 0 °C | Rel. vlagi % | Par prit. mm/Hg | Veter smer | m/sec | Oblač nost 0 - 10 | Morje stanje | Morje smer valov | Temp. morja 0 °C | Datum |
|----------------------|-------|-------------------------|--------------------|-----------------------|---------------|-------|-------------------------|-----------------|------------------------|------------------------|---------|
| Piran-luka | 22,00 | 6,8 | 68 | 6,8 | C | - | 0 | 0 | - | - | 24.feb. |
| 2 | 04,00 | 6,7 | 67 | 6,6 | 320 | 5,5 | 0 | 3 | 320 | 8,7 | 25.feb. |
| 3 | 06,30 | 5,4 | 75 | 6,7 | 60 | 2,2 | 0= | 2 | 60 | 8,3 | " |
| 4 | 08,20 | 4,4 | 86 | 7,2 | 220 | 2,5 | 0= | 2 | 220 | 7,5 | " |
| 4 | 09,00 | 4,8 | 88 | 7,6 | 220 | 4,2 | 0= | 2 | 220 | - | " |
| | 10,00 | 5,7 | 87 | 7,9 | 220+ | - | 0= | 3 | 220 | - | " |
| | 11,00 | 4,2 | 88 | 7,2 | 220+ | - | 0= | 3 | 220 | - | " |
| 5 | 12,00 | 4,7 | 80 | 6,8 | 320 | 4,5 | 0= | 2 | 320 | 6,6 | " |
| | 13,00 | 5,8 | 84 | 7,8 | 40+ | - | 0= | 3 | 40 | - | " |
| | 14,00 | 7,8 | 87 | 9,2 | 50+ | - | 0= | 3 | 50 | - | " |
| 6 | 15,00 | 8,4 | 57 | 6,2 | C | - | 0= | 2 | 320 | 6,4 | " |
| | 16,00 | 7,4 | 79 | 8,1 | C | - | 0= | 2 | 320 | - | " |
| | 17,00 | 7,0 | 78 | 7,7 | C | - | 0= | 2 | 320 | - | " |
| 7 | 17,30 | 7,1 | 76 | 7,3 | C | - | 0= | 1 | 320 | 9,4 | " |
| | 18,00 | 6,8 | 84 | 8,3 | C | - | 0= | 1 | 320 | - | " |
| | 19,00 | 7,4 | 72 | 7,3 | 270+ | - | 0= | 1 | 320 | - | " |
| 8 | 19,30 | 7,9 | 78 | 8,2 | 270 | 4,5 | 0= | 1 | 270 | 9,2 | " |
| | 21,00 | 8,5 | 77 | 8,6 | 270+ | - | 0= | 2 | 270 | - | " |
| 9 | 22,00 | 9,0 | 78 | 8,9 | 90 | 4,4 | 0= | 3 | 90 | 10,6 | " |
| 10 | 04,00 | 8,9 | 74 | 8,4 | 180 | 2,5 | 0 | 1 | 180 | 10,6 | 26.feb. |
| 11 | 06,00 | 8,9 | 79 | 9,0 | 180 | 3,0 | 0 | 2 | 180 | 10,4 | " |
| 11 | 07,00 | 9,2 | 77 | 9,0 | 180 | 2,8 | 1 | 2 | 180 | - | " |
| 12 | 08,00 | 9,8 | 73 | 8,8 | 160 | 7,7 | 9 | 3 | 160 | 11,0 | " |
| Pula luka | 16,00 | 7,8 | 60 | 6,4 | 60 | 7,0 | 0 | 1 | 60 | - | " |
| Pula luka | 07,00 | 5,8 | 84 | 7,8 | 310+ | - | 3 | 1 | 310 | - | 27.feb. |
| 17 | 07,10 | 6,2 | 84 | 7,9 | 360 | 6,5 | 4 | 3 | 360 | - | " |
| Sv.Ivan na Pučini | 09,45 | 5,6 | 80 | 7,3 | 10+ | - | 3 | 2 | 10 | - | " |
| 18 | 10,00 | 6,1 | 70 | 6,6 | 10 | 7,5 | 3 | 3 | 10 | 8,7 | " |
| | 11,00 | 6,0 | 70 | 6,5 | 10+ | - | 3 | 3 | 10 | - | " |
| | 12,00 | 6,2 | 76 | 7,2 | - | - | - | - | - | - | " |
| | 13,00 | 6,2 | 76 | 7,2 | 360 | 3,4 | 0 | 2 | 360 | - | " |
| 1 | 14,00 | 6,8 | 56 | 5,5 | 320 | 3,5 | 0= | 1 | 320 | 4,8 | " |

Opomba: Podatki označeni skrižcem (+) so bili ocenjeni med vožnjo. Postaje so označene na sl.1 s tekocimi številkami. Za vmesne postaje, za katere je naveden samo čas opazovanja pa se točko lahko določi iz smeri plovbe, hitrosti ladje (9 navtičnih milj) in časa, ki je potekel od predhodne "postaje".

Dne 26.februarja 1965 ob 12.uri so bila opazovanja zaradi viharja prekinjena (stanje morja 5-6).

Remark: Data marked by the cross (+) have been established during the movement. Stations on picture 1 are marked by a current number. For intermediate stations, for which only the time of observation is given, one can define the observation point from direction of navigation and velocity of the ship (9 nautic miles) and the time used for the travel from the last station. On 26th February at noon the observations were interrupted by the strong storm.

Namen avtorja je, da na osnovi skušenj tega potovanja pokaže, da samo kopenski podatki ne zadostujejo za predvidevanje vremena nad severnim Jadranom. Ob prehodu hladne fronte so namreč postaje na kopnem zabeležile samo šibke vetrove (jakost 1-3 po Beaufort-u), medtem ko je nad morjem pihal veter z jakostjo 6-8 po 8. Za zavarovanje plovbe, zlasti za namene ribištva bo treba češče opraviti in ponoviti opisano potovanje ter uvesti čimveč poročanja o vremenu z ladij, ki so na odprttem morju.

NEKATERE ZNAČILNOSTI ZIMSKIH TEMPERATUR V LJUBLJANI V ZADNJIH 115 LETIH

SOME CHARACTERISTICS OF WINTER TEMPERATURES IN LJUBLJANA IN LAST 115 YEARS

Vital Manohin

551.582.1

Summary

In the present paper some selected winter temperatures during the period 1951-1965 are treated. The data are presented on five tables.

In the period studied the winter temperatures show significant variations with a trend to lower values in the last five years. Differences between the highest and the lowest values of winter month means normally exceed the differences between month means of May and January, respectively April and January. Differences between the absolute extremes in all winter-months exceed 40° C.

Frequency distribution of winter month means shows that the mode is shifted to the over-average temperatures. Only in January a secundar mode can be found in the range of negative deviation from the mean (table 4).

Special attention must be given to the noticed appearance of cold winter rhythm with period of 49 - 50 years (table 5). From 27 correspondent cold winters (81 %) were in the reciprocal connection. (A cold winter is the one with a three-months mean for 1 degree or more lower than normal and at least in two months for 2 degrees or more lower than normal.)

The blind probability of a cold winter lies very close to 24 per cent. With a stronger criterion, excluding the semi-cold winters (Semi-cold winter has only in one winter month temperature more than 2 degrees under normal or in two months negative deviations between 0,5 and 2,0°C.) we still get the probability of 68 per cent, that the 49 - 50 years period exists.

Za Ljubljano so nam na razpolago temperaturni podatki za dolgo dobo 115 let. (1851 - 1965). Obdelajmo torej del teh podatkov - samo zimske - in ugotovimo njihove značilnosti.

Podatki so zbrani v petih priloženih tabelah. Prva tabela prikazuje desetletne povprečke mesečnih temperatur. Iz njih je razvidno kolebanje zimskih temperatur, kajti zime so v nekaterih desetletjih ostrejše, drugič miljejše, nato so zime povpreček pod 0, v drugih pa nad 0 in le januar obdrži v vseh desetletjih in 2,1, v februarju med -0,9 in 1,2, v januarju med -3,1 in -0,9. Kolebanja so točno v decembru največja in znašajo 3,9°, v januarju in februarju se zmanjšuje kolebanje na 2,2°, oziroma 2,1°. Najhladnejše zime so bile v razdobju 1871-90, a najtoplejše v desetletjih 1911-20 in 1951-60. V zadnjem petletju (1961-65) kaže trend padajoče temperature.

Najvišji in najnižji mesečni povprečki zimskih temperatur v posameznih letih so razvidni iz tabele 2. Tudi tu je decembsko kolebanje največje in znaša 17,8°, v januarju 14,3° in v februarju 14,0°. Decembska kolebanja prekašajo normalno temperaturno razliko med povprečkom maja in januarja, ki znaša 16,40, vse pa prekašajo temperaturno razliko med januarjem in aprilom, ki znaša 11,8°.

Absolutni ekstremi so podani v tabeli 3. Pri tem je vredno omeniti, da je avtor opazoval dne 23. januarja 1942 v Ljubljani na Trgu Revolucije -26,5°, medtem ko je bil na vrtu Ženske bolnišnice opazovan tega dne absolutni minimum -25,4, kajti uradni opazovalec je odčital le jutranjo vrednost ob 7^h, medtem ko je nastopil absolutni minimum okrog osme ure zjutraj. Dne 14. januarja 1893 je bil opazovan absolutni minimum -26,0°.

Iz priložene tabele za absolutne ekstreme je razvidno, da je kolebala temperatura v razdobju 1851-1964 v mejah 42,2°, v januarju v razdobju 1851-1965 v intervalu 40,3° in v februarju v istem razdobju za 44,6°. Zanimivo je tudi, da temperatura v januarju niti v 115 letih ni dosegla + 15°.

Tabela 4. nam kaže razporeditev povprečnih mesečnih temperatur zimskih mesecev po pogostnosti: v vseh treh zimskih mesecih leži modus, t.j. najpogostnejša vrednost, v območju pozitivnih odklonov od povprečja, vendar leži v januarju modus v območju negativnih temperatur. Sekundarni modus leži v januarju precej nizko, namreč -3,1 in -4,0; v nasprotju s tem se nahaja sekundarni modus v decembru in februarju, v območju pozitivnih temperatur.

Končno omenimo še tendenco k periodični ponovitvi hladnih zim (hladne zime so tiste, ki imajo trimesečni temperaturni povpreček več kot za 1° pod normalo in najmanj v dveh mesecih tem. povpreček več kot za 2° pod normalo) po preteku 49-50 let, kar je razvidno in tabelle št. 5. Tu so zbrane vse hladne zime 115-letne opazovalne dobe. (Tri zime se nahajajo v obeh kolonah). V oklepaj so vzete tiste zime,

ki so bile le v dveh mesecih kolikor toliko hladne ali v enem samem mesecu izrazito hladne. Take zime imenujemo napol hladne (Napol hladne zime imajo le v enem zimskem mesecu temperaturo več kot za 2° pod normalo, ali v dveh mesecih negativni odklon med 0,5 in 2,0°C.) Če razporedimo hladne in napol hladne zime v dve koloni, oddaljeni za 14 hladnih in napol hladnih zim. Medsebojno periodično povezavo 49-50 let kaže po 11 klepaju, tedaj dobimo v obeh kolonah 24 hladnih zim, je od njih 16 takih, ki so v medsebojni povezavi 49-50 let, kar tvori še vedno 68 %. Pripomniti je treba, da znaša slaba verjetnost hladne zime le 24 %.

Tabela 1

Desetletni mesečni povprečki temperature, na koncu tabele povprečna temperatura za dobo 1851-1965. (december za dobo 1851-1964)

Table 1

Ten years' winter month mean temperatures and mean temperatures for the period 1851-1965. (December only 1851 - 1964).

| | December | Januar | Februar |
|------------|----------|--------|---------|
| 1851-60 | -1,8 | -2,1 | -0,9 |
| 1861-70 | -0,5 | -2,6 | 0,1 |
| 1871-80 | -1,1 | -2,2 | -0,4 |
| 1881-90 | -1,1 | -3,1 | -0,9 |
| 1891-1900 | -0,9 | -2,5 | -0,3 |
| 1901-10 | 0,9 | -2,4 | 0,2 |
| 1911-20 | 2,1 | -0,5 | 1,2 |
| 1921-30 | 0,1 | -1,3 | 0,0 |
| 1931-40 | -1,1 | -1,3 | 0,3 |
| 1941-50 | 1,2 | -2,7 | 0,7 |
| 1951-60 | 1,9 | -0,9 | -0,1 |
| 1961-65/64 | -1,7 | -2,8 | -0,3 |
| 1851-1965 | -0,1 | -2,1 | 0,1 |

Tabela 2

Najnižji in najvišji mesečni povprečki zimskih mesecev za dobo 1851-1965 (december za dobo 1851-1964).

Table 2

The lowest and the highest mean month temperatures of winter months during the period 1851-1965. (December only 1851-1964)

| | December | Januar | Februar |
|-----------|--------------|-------------|-------------|
| Minimum: | -11,8 (1879) | -9,4 (1880) | -8,9 (1929) |
| Maksimum: | 6,0 (1868) | 4,9 (1936) | 5,1 (1926) |

Tabela 3

Absolutni ekstremi zimskih temperatur za dobo 1851-1965 (december 1851-1964)

Table 3

Absolute extremes of winter temperatures during the period 1851-1965. (December only 1851 - 1964)

| | December | Januar | Februar |
|-----------|-------------------|------------------|-----------------|
| Abs.min. | -26,4(11.12.1879) | -26,5(23.1.1942) | -25,6(3.2.1929) |
| Abs.maks. | 15,8(6.12.1960) | 13,8(19.1.1949) | 19,0(29.2.1960) |

Tabela 4

Pogostnost povprečnih mesečnih temperatur zimskih mesecov v različnih temperaturnih intervalih.

Table 4

The frequency distribution of winter months mean temperatures in different temperature intervals.

| Interval: | 1. | 2. | 3.. | 4.. | 5.. |
|-----------|---------------|---------------|--------------|-------------|-------------|
| | -12,0 - -11,1 | -11,0 - -10,1 | -10,0 - -9,1 | -9,0 - -8,1 | -8,0 - -7,1 |
| December | 1 | 0 | 0 | 0 | 0 |
| Januar | 0 | 0 | 2 | 1 | 3 |
| Februar | 0 | 0 | 0 | 1 | 2 |
| Interval: | 6. | 7. | 8.. | 9.. | 10.. |
| | -7,0 - -6,1 | -6,0 - -5,1 | -5,0 - -4,1 | -4,0 - -3,1 | -3,0 - -2,1 |
| December | 3 | 0 | 4 | 7 | 13 |
| Januar | 7 | 5 | 6 | 18 | 15 |
| Februar | 0 | 1 | 4 | 8 | 11 |
| Interval: | 11. | 12. | 13.. | 14.. | 15.. |
| | -2,0 - -1,1 | -1,0 - -0,1 | 0,0 - 0,9 | 1,0 - 1,9 | 2,0 - 2,9 |
| December | 14 | 12 | 19 | 16 | 10 |
| Januar | 8 | 23 | 7 | 9 | 8 |
| Februar | 10 | 15 | 16 | 18 | 12 |
| Interval: | 16. | 17. | 18.. | 19.. | |
| | 3,0 - 3,9 | 4,0 - 4,9 | 5,0 - 5,9 | 6,0 - 6,9 | |
| December | 6 | 5 | 3 | 1 | |
| Januar | 1 | 2 | 0 | 0 | |
| Februar | 11 | 4 | 2 | 0 | |

Tabela 5

Hladne in napol hladne zime v 49-50 letni periodični povezavi.

Table 5

Cold and semi-cold winters in the 49-50 years cyclus.

| Meseci: | XII. | I. | II. | | XII. | I. | II. |
|---------|-------|------|------|----------|------|------|-------|
| 1854-55 | 0,3 | -5,6 | -1,5 | 1904-05 | 1,1 | -5,1 | -0,4 |
| 1857-58 | -2,2 | -8,4 | -7,9 | 1906-07 | -2,2 | -3,5 | -2,4 |
| | | | | 1908-09 | -2,4 | -4,2 | -2,4 |
| 1863-64 | 0,0 | -9,1 | -2,2 | 1913-14 | -0,9 | -6,4 | 0,5 |
| 1875-76 | -4,8 | -6,8 | -1,2 | /1925-26 | -3,0 | -3,2 | 5,1/ |
| 1879-80 | -11,8 | -9,4 | -2,6 | 1928-29 | 0,0 | -6,9 | -8,9 |
| 1887-88 | -1,7 | -4,5 | -3,6 | 1939-40 | -1,6 | -6,8 | -3,5 |
| 1890-91 | -4,5 | -8,0 | -4,3 | 1940-41 | -6,2 | -2,9 | 0,3 |
| 1892-93 | -3,9 | -8,0 | -0,2 | 1941-42 | 1,3 | -7,8 | -3,0 |
| 1894-95 | -2,9 | -3,1 | -5,8 | /1944-45 | 0,4 | -4,9 | 1,4/ |
| 1900-01 | -0,2 | -4,6 | -5,0 | 1953-54 | 1,5 | -5,2 | -3,7 |
| 1904-05 | 1,1 | -5,1 | -0,4 | /1955-56 | 2,3 | 1,9 | -7,8/ |
| 1906-07 | -2,2 | -3,5 | -2,4 | 1962-63 | -3,4 | -6,2 | -3,1 |
| 1913-14 | -0,9 | -6,4 | 0,5 | 1963-64 | -2,8 | -5,7 | 0,3 |